

# ESTÁTICA

Jaime Villate, 1999.

Universidade do Porto, Faculdade de Engenharia.

Primeira parte da disciplina "Mecânica pura e aplicada", leccionada nas Licenciaturas em Engenharia Química e Engenharia Informática e Computação.

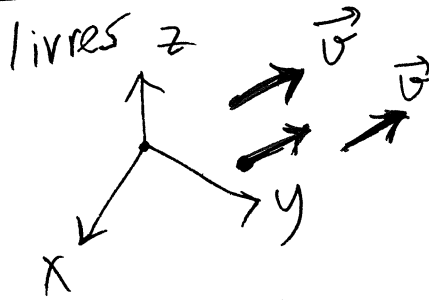
Estes apontamentos são apenas os sumários que escrevi para preparar as aulas. Poderão servir como guia de estudo, mas não dispensam a consulta da bibliografia, especialmente para resolver problemas, que é a melhor forma de aprender mecânica.

## BIBLIOGRAFIA

1. J.L. Meriam e L.G. Kraige. *Engineering Mechanics*, vol. 1: *Statics*. Quarta edição, John Wiley & Sons, 1998
2. F.P. Beer e E.R. Johnston. *Vector Mechanics for Engineers*, vol. 1: *Statics*. Sexta edição, Mc Graw-Hill, 1996.

VECTORES

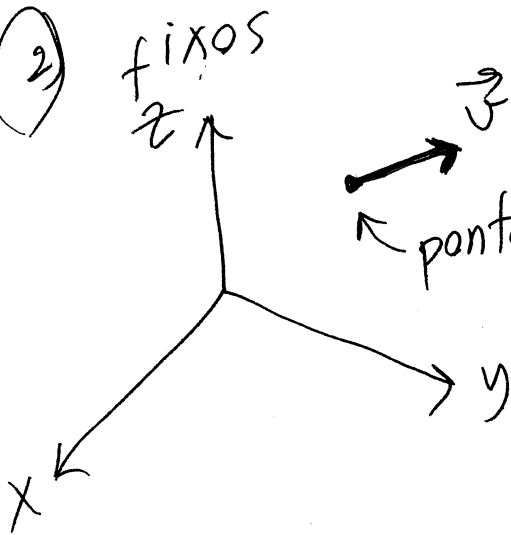
1



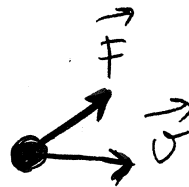
módulo + direção + sentido  
 $(v)$   $(\hat{v})$   $\vec{v} = v\hat{v}$

$\hat{v}$  (módulo unitário) = versor

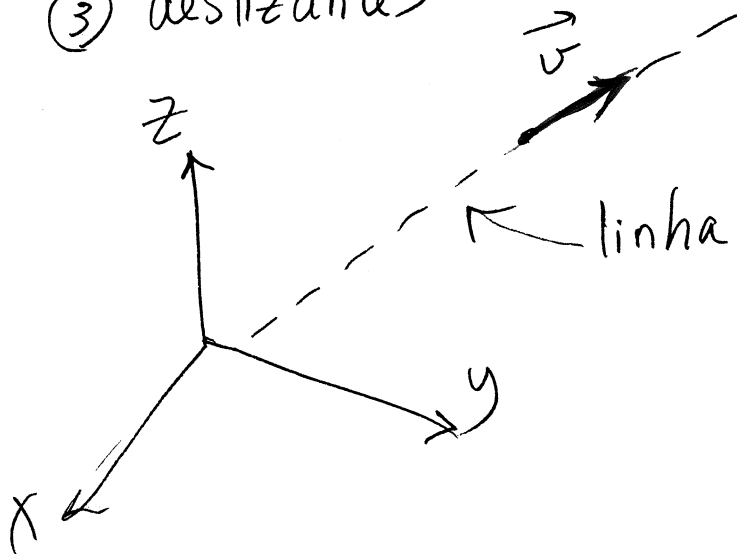
2



ponto de aplicação + módulo + versor  
 exemplos: - velocidade de uma partícula  
 - força sobre uma partícula

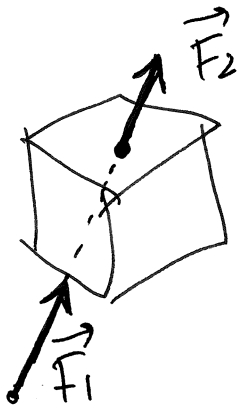


3 deslizantes



pode actuar em qualquer ponto da linha de acção.  
 linha de acção + módulo + sentido

exemplo: Forças sobre corpos rígidos



$F_1 = F_2$  e linha acção 1 = l.a. 2  
 $\Rightarrow \vec{F}_1 \Leftrightarrow \vec{F}_2$

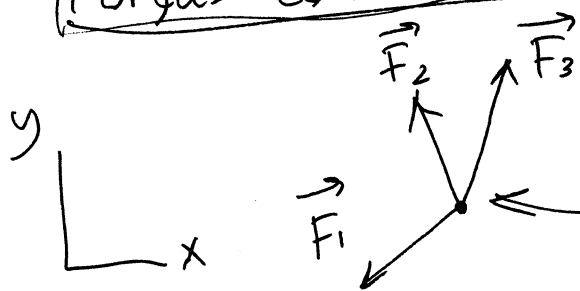
Forças  $\vec{F} = F \hat{F}$

Unidades de  $F =$  Newtons (N)  
 (SI)

$m = 1 \text{ kg} \rightarrow P = 9,8 \text{ N}$   
aceleração

1 N = força que produz  $a = 1 \frac{\text{m}}{\text{s}^2}$  sobre uma massa de 1 Kg.

Forças concorrentes num plano

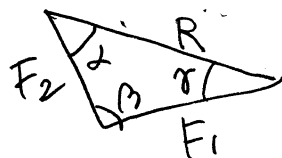
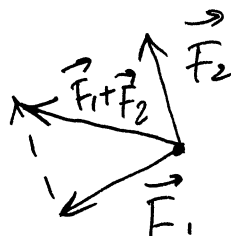


o mesmo ponto de acção

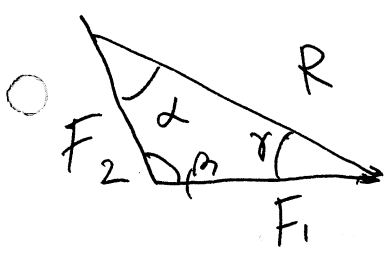
Aula 2 28/1/20

Soma de vectores concorrentes

$\vec{R} = \vec{F}_1 + \vec{F}_2$



propriedades  $\left\{ \begin{array}{l} - \text{comutativa} \\ - \text{associativa} \\ - \text{distributiva} \end{array} \right.$



teorema do co-seno:

$$R^2 = F_1^2 + F_2^2 - 2F_1F_2 \cos \beta$$

$$F_1^2 = F_2^2 + R^2 - 2RF_2 \cos \alpha$$

$$F_2^2 = F_1^2 + R^2 - 2RF_1 \cos \gamma$$

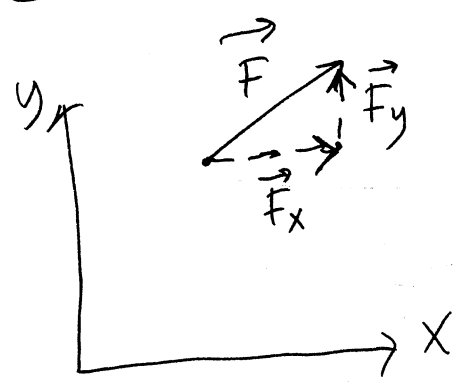
teorema do seno:

$$\frac{R}{\sin \beta} = \frac{F_1}{\sin \alpha}$$

$$\frac{R}{\sin \beta} = \frac{F_2}{\sin \gamma}$$

$$\frac{F_1}{\sin \alpha} = \frac{F_2}{\sin \gamma}$$

Componentes  
Coordenadas retangulares (Cartesianas)



$$\vec{F} = \vec{F}_x + \vec{F}_y$$

componentes retangulares cartesianas

$$\vec{F}_x = F_x \hat{i}$$

versor na direcção positiva de  $\hat{i}$

$$\vec{F}_y = F_y \hat{j}$$

versor na direcção de  $\hat{j}$  (sentido positivo)



$$F = \sqrt{F_x^2 + F_y^2}$$

$(F_x, F_y) =$  coordenadas cartesianas

Nota:  $F$  é sempre positivo, mas  $F_x, F_y$  podem ser negativas:

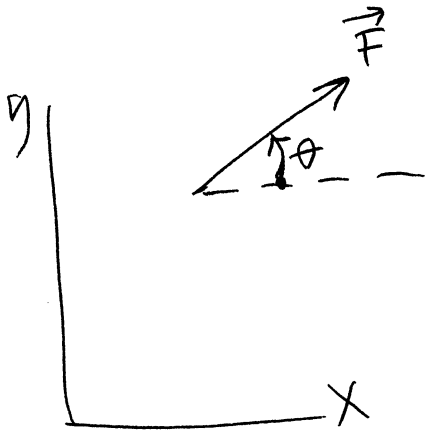


$$\vec{A} = A_x \hat{i} + A_y \hat{j}$$

$(A_x < 0)$   
 $(A_y < 0)$

SOMA VECTORES COORDENADAS CARTESIANAS →

# Coordenadas polares



$(F, \theta) = \text{coordenadas polares}$

$$F_x = F \cos \theta$$

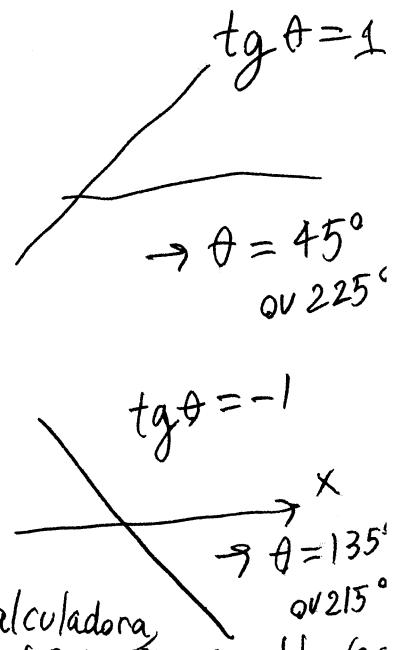
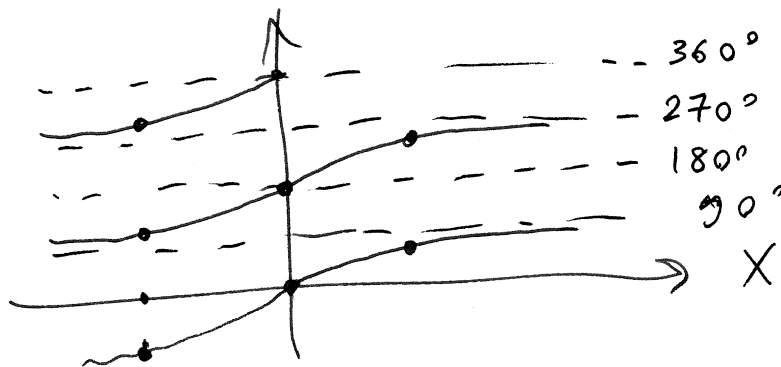
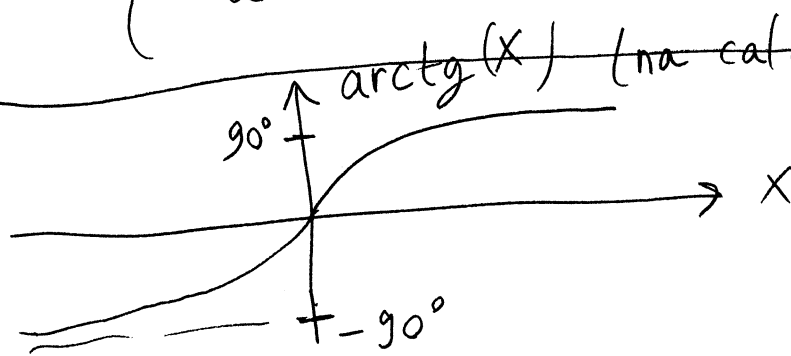
$$F_y = F \sin \theta$$

$$\vec{F} = F \cos \theta \hat{i} + F \sin \theta \hat{j}$$

$$= F \hat{F} \rightarrow \hat{F} = \cos \theta \hat{i} + \sin \theta \hat{j}$$

$$\theta = \dots \arctg\left(\frac{F_y}{F_x}\right)$$

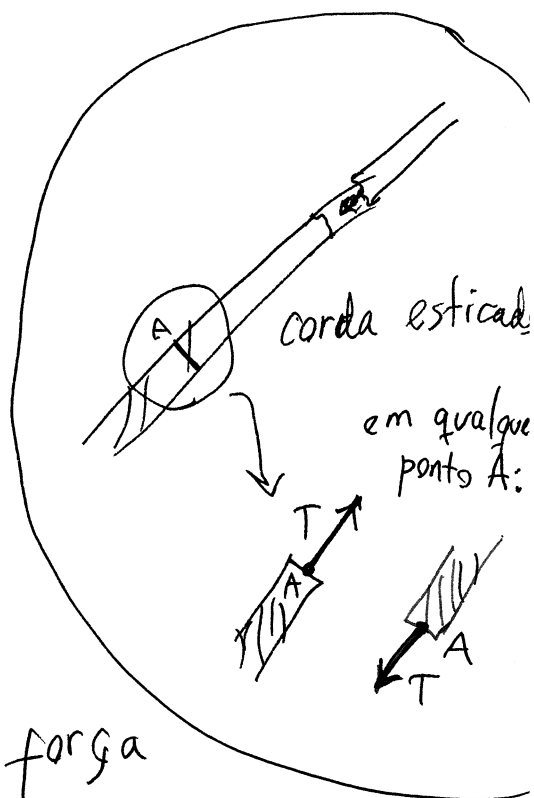
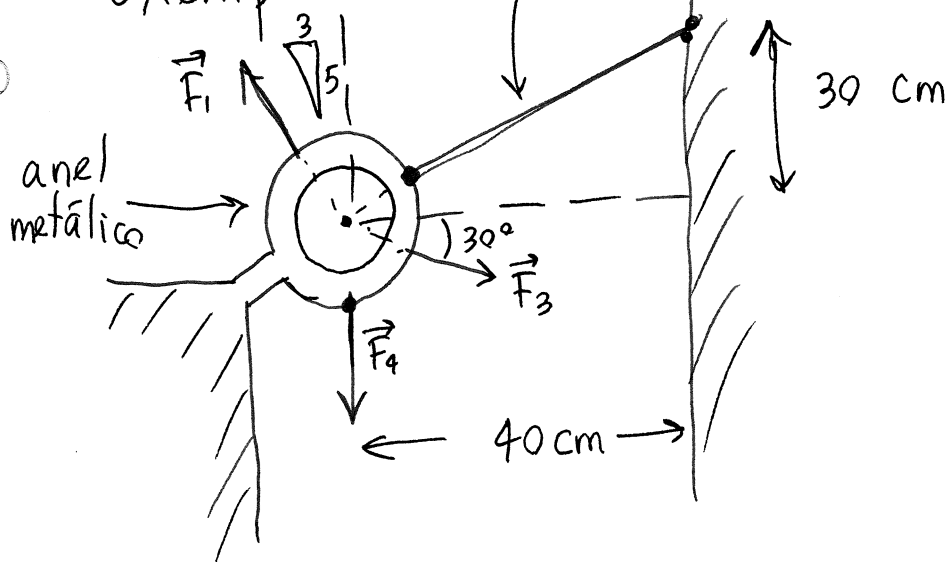
Nota:  $\left\{ \begin{array}{l} \text{tg } \theta \text{ define apenas a direcção e não o sentido} \\ \text{arctg}(x) \text{ tem dois valores, mas} \\ \text{a calculadora dá apenas um deles} \end{array} \right.$



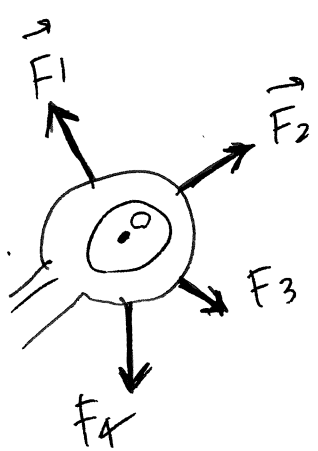
→ somar 180° à resposta da calculadora

Exemplo

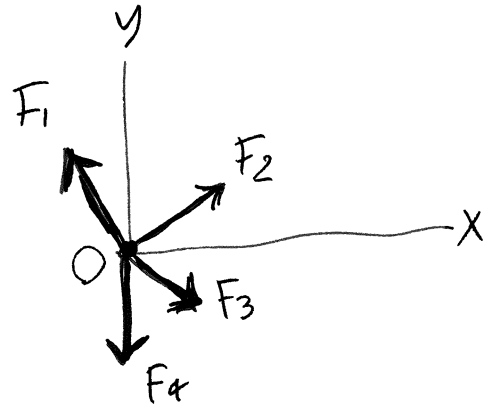
fio esticado, com tensão de  $150\text{ N} = F_2$



Sabendo que  $F_1 = 60\text{ N}$ ,  $F_3 = 100\text{ N}$  e  $F_4 = 110\text{ N}$ , calcule a força resultante



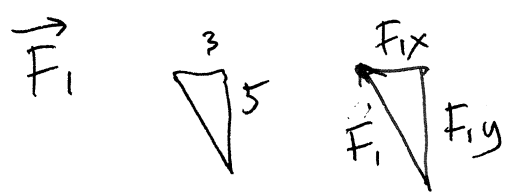
$\approx \rightarrow$



$$\vec{F}_4 = -110\hat{j}$$

$$\hat{F}_3 = \cos(-30^\circ)\hat{i} + \sin(30^\circ)\hat{j} = 0,866\hat{i} - 0,5\hat{j}$$

$$\rightarrow \vec{F}_3 = 86,6\hat{i} - 50\hat{j}$$

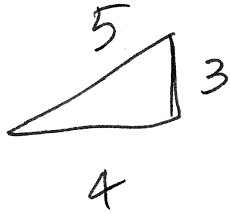


$$\frac{F_1}{\sqrt{3^2+5^2}} = \frac{F_{1x}}{3} = \frac{F_{1y}}{5}$$

$$\rightarrow F_{1x} = \frac{60 \times 3}{\sqrt{34}} \quad F_{1y} = \frac{60 \times 5}{\sqrt{34}}$$

$$\vec{F}_1 = -30,9\hat{i} + 51,4\hat{j}$$

$\vec{F}_2:$



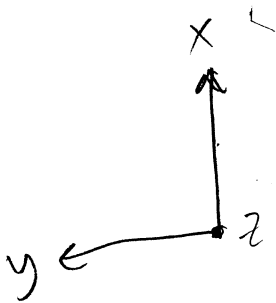
$$\frac{150}{5} = \frac{F_{2x}}{4} = \frac{F_{2y}}{3}$$

$$\rightarrow \vec{F}_2 = 120\hat{i} + 90\hat{j}$$

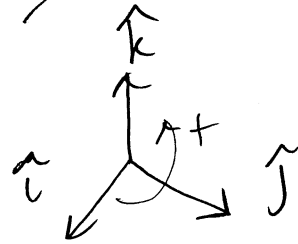
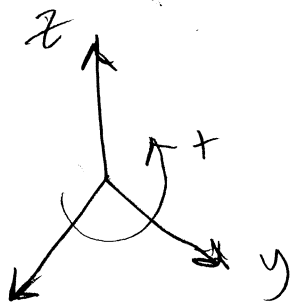
$$\rightarrow \vec{R} = (175,7\hat{i} - 18,6\hat{j}) \text{ N}$$

Aula 3, 3 de Março de 1999

VECTORES EM 3 DIMENSÕES

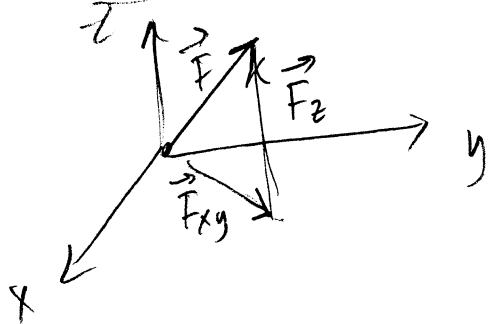


regra da mão direita



versores

Coordenadas cartesianas



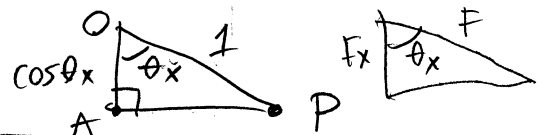
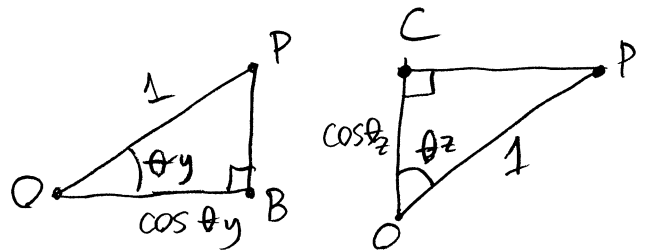
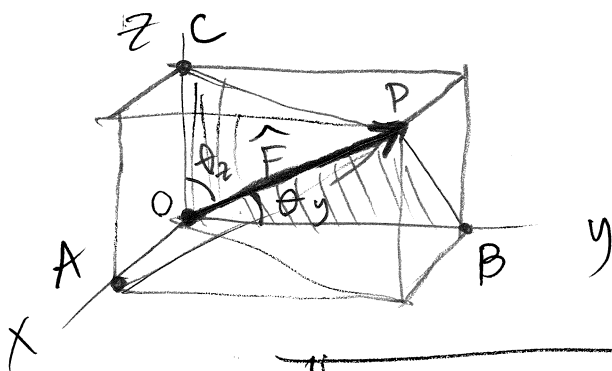
$$\vec{F} = F_x \hat{i} + F_y \hat{j} + F_z \hat{k}$$

$$\rightarrow F^2 = F_x^2 + F_y^2 + F_z^2$$

$$F^2 = F_x^2 + F_y^2 + F_z^2$$

(teorema de Pitágoras em 3-D)

Versores



$$\rightarrow \hat{F} = \cos \theta_x \hat{i} + \cos \theta_y \hat{j} + \cos \theta_z \hat{k}$$

$$\cos \theta_x = \frac{F_x}{F}$$

mas como  $|\hat{F}| = 1$

$\rightarrow \boxed{\cos^2 \theta_x + \cos^2 \theta_y + \cos^2 \theta_z = 1}$

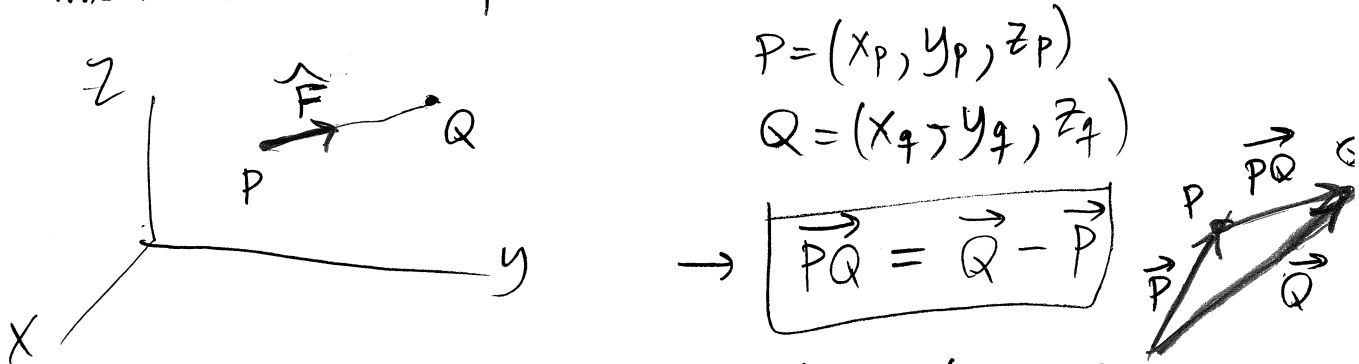
caso particular:  $\hat{F}$  no plano xy  $\rightarrow \theta_z = 90^\circ$

$\theta_y = 90^\circ - \theta_x \rightarrow \cos^2 \theta_x + \cos^2(90^\circ - \theta_x) = 1$   
 $\rightarrow \cos^2 \theta_x + \sin^2 \theta_x = 1$

conhecidos 2 dos ângulos  $\theta_x, \theta_y, \theta_z$ ,  
pode calcular-se o terceiro.

$\rightarrow$  A direcção e sentido dum vector pode ser definida por meio de dois ângulos formados com 2 eixos

Outra forma de calcular versores é por meio de 2 pontos:

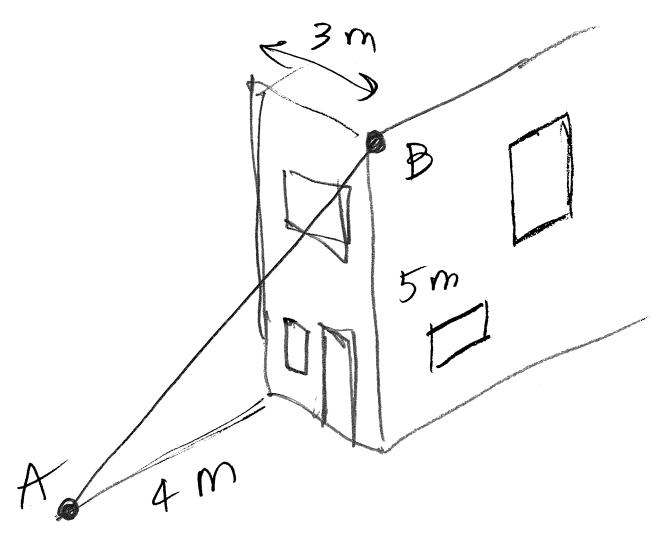


$\vec{PQ} = (x_q - x_p)\hat{i} + (y_q - y_p)\hat{j} + (z_q - z_p)\hat{k}$

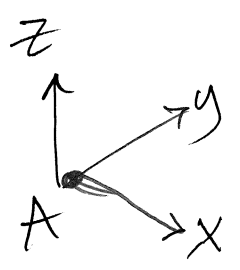
o versor  $\hat{F}$  é igual a  $\frac{\vec{PQ}}{PQ}$

$\rightarrow \hat{F} = \frac{(x_q - x_p)\hat{i} + (y_q - y_p)\hat{j} + (z_q - z_p)\hat{k}}{\sqrt{(x_q - x_p)^2 + (y_q - y_p)^2 + (z_q - z_p)^2}}$

# Exemplo:



A tensão na corda é  $T = 100 \text{ N}$ .  
 Encontre  $\vec{T}_B$  da corda sobre o ponto B e diga que ângulo forma a corda com a horizontal



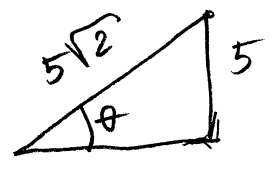
$\rightarrow A = (0, 0, 0)$

$B = (3, 4, 5)$  dist. em metros

$\vec{AB} = 3\hat{i} + 4\hat{j} + 5\hat{k}$

$|\vec{AB}| = \sqrt{3^2 + 4^2 + 5^2} = \sqrt{50} = 5\sqrt{2}$

$\rightarrow \vec{T}_B = -T \hat{AB} = -100 \left( \frac{3\hat{i} + 4\hat{j} + 5\hat{k}}{5\sqrt{2}} \right)$   
 $= \frac{-60\hat{i} - 80\hat{j} - 100\hat{k}}{\sqrt{2}}$

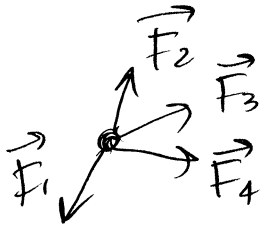


$\sin \theta = \frac{5}{5\sqrt{2}} = \frac{1}{\sqrt{2}} = \frac{\sqrt{2}}{2}$

$\rightarrow \theta = 45^\circ$

EQUILÍBRIO ESTÁTICO.

Lei da inércia (1ª lei de Newton)

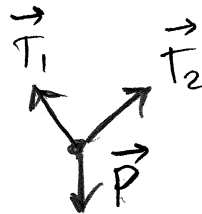
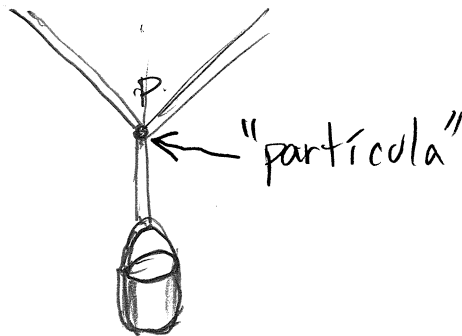


força resultante:  $\vec{R} = \sum_{i=1}^n \vec{F}_i = 0$

se a força resultante externa é nula, a partícula está em equilíbrio (em repouso ou mov. uniforme)

equilíbrio {  
estático (repouso)  
dinâmico (mov. retilínea com vel. uniforme)

Nota: esta lei é válida apenas para partículas (já veremos a sua generalização mais logo).



# Condições de equilíbrio;

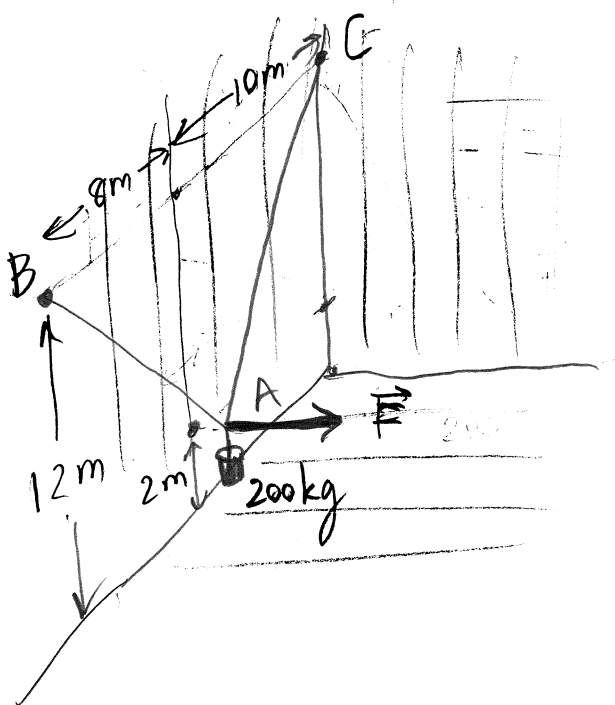
11

$$\sum \vec{F} = \vec{0} \text{ ou } \begin{cases} \sum F_x = 0 \\ \sum F_y = 0 \\ \sum F_z = 0 \end{cases}$$

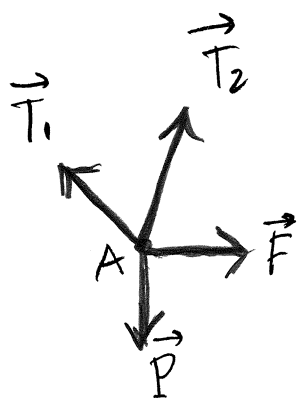
3 equações escalares  
 $\Downarrow$   
 no máximo 3 variáveis escalares

Exemplo: O ponto

A mantém-se afastado 1,2 m da parede, por meio de uma força horizontal,  $\vec{F}$ , perpendicular à parede. Calcule o módulo de  $\vec{F}$  e as tensões nos fios AB e AC.



## Diagrama de forças



$$\vec{T}_1 + \vec{T}_2 + \vec{P} + \vec{F} = \vec{0}$$

$$\vec{T}_1 = T_{1x} \hat{i} + T_{1y} \hat{j} + T_{1z} \hat{k}$$

3 incógnitas?

$\Downarrow$

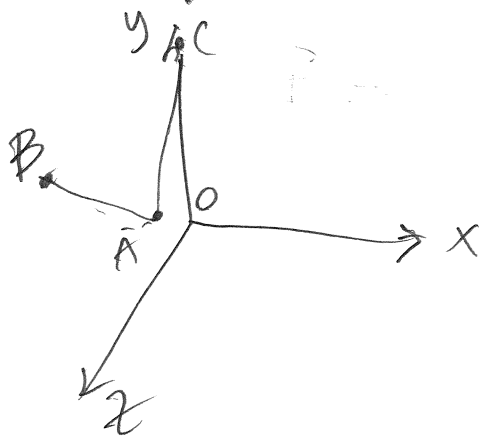
não pois a direção de  $\vec{T}_1$  está definida

$$\vec{T}_1 = T_1 \hat{AB}$$

incógnita  $\nearrow$  conhecida  $\nwarrow$

de igual forma,

$$\vec{F}_2 = T_2 \hat{AC} \quad \left( \begin{array}{l} \text{uma incógnita} \\ T_2 \end{array} \right)$$



$$\vec{F} = F \hat{c}$$

$$\vec{P} = -P \hat{j}$$

$$P = 200 \text{ kg} \cdot 9,81 \frac{\text{m}}{\text{s}^2} = 1962 \text{ N}$$

$$\vec{A} = 1,2 \hat{i} + 2 \hat{j} + 10 \hat{k}$$

$$\vec{B} = 12 \hat{j} + 18 \hat{k}$$

$$\vec{C} = 18 \hat{k}$$

$$\begin{cases} \vec{AB} = \vec{B} - \vec{A} = -1,2 \hat{i} + 10 \hat{j} + 8 \hat{k} \\ \vec{AC} = -1,2 \hat{i} + 10 \hat{j} - 10 \hat{k} \end{cases}$$

$$AB = \sqrt{1,44 + 100 + 64} = \sqrt{165,4}$$

$$AC = \sqrt{1,44 + 100 + 100} = \sqrt{201,44}$$

$$\hat{AB} = -0,0933 \hat{i} + 0,778 \hat{j} + 0,622 \hat{k}$$

$$\hat{AC} = -0,0846 \hat{i} + 0,705 \hat{j} - 0,705 \hat{k}$$

$$\sum F_z = 0,622 T_1 - 0,705 T_2 = 0$$

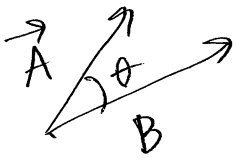
$$\rightarrow T_2 = \frac{0,622}{0,705} T_1 = 0,882 T_1$$

$$\sum F_y = 0,778 T_1 + 0,705 T_2 - 1620 = 0 \Rightarrow$$

$T_1 = 1157 \text{ N}$
$T_2 = 1021 \text{ N}$

# Produto escalar

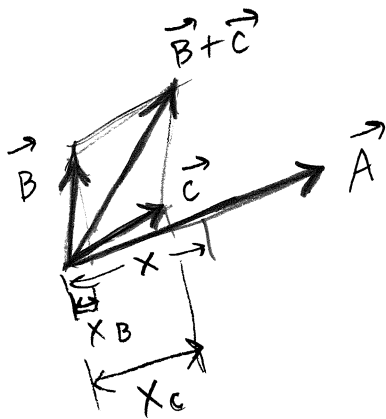
13



$\vec{A} \cdot \vec{B}$  = produto da projecção de A sobre B e o módulo de B  
 $A = AB \cos \theta$

①  $\vec{A} \cdot \vec{B} = \vec{B} \cdot \vec{A}$

②  $\vec{A} \cdot (\vec{B} + \vec{C}) = \vec{A} \cdot \vec{B} + \vec{A} \cdot \vec{C}$



$$\begin{aligned} \vec{A} \cdot (\vec{B} + \vec{C}) &= xA = (x_B + x_C)A \\ &= x_B A + x_C A = \vec{A} \cdot \vec{B} + \vec{A} \cdot \vec{C} \end{aligned}$$

③  $\vec{A} \cdot \vec{B} = 0 \iff \vec{A}$  perpendicular a  $\vec{B}$

$$\rightarrow \hat{i} \cdot \hat{j} = \hat{i} \cdot \hat{k} = \hat{j} \cdot \hat{k} = 0$$

④  $\vec{A} \cdot \vec{A} = A^2 \rightarrow \hat{i} \cdot \hat{i} = \hat{j} \cdot \hat{j} = \hat{k} \cdot \hat{k} = 1$

⑤ produto em coord. cartesianas:

$$\vec{A} \cdot \vec{B} = A_x B_x \hat{i} \cdot \hat{i} + A_x B_y \hat{i} \cdot \hat{j} + \dots + A_z B_z \hat{k} \cdot \hat{k}$$

$$\boxed{\vec{A} \cdot \vec{B} = A_x B_x + A_y B_y + A_z B_z}$$

$$\rightarrow \theta = \arccos \left( \frac{A_x B_x + A_y B_y + A_z B_z}{A B} \right)$$

Aula 5

10 de Março de 1995

# FORÇAS SOBRE CORPOS RÍGIDOS

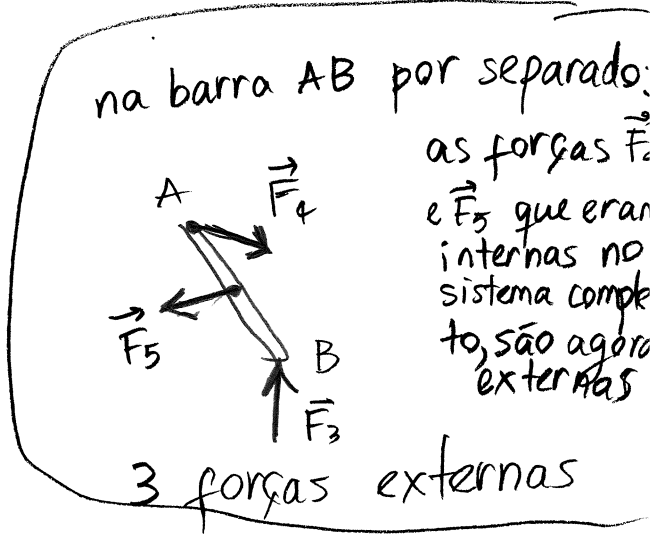
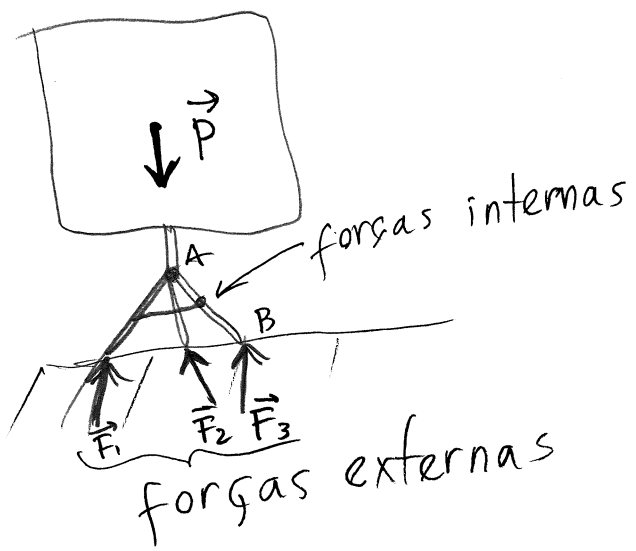
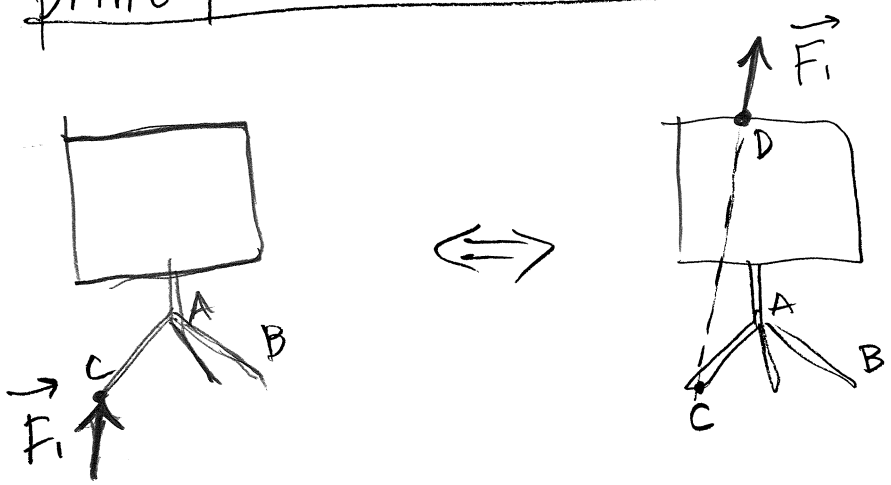


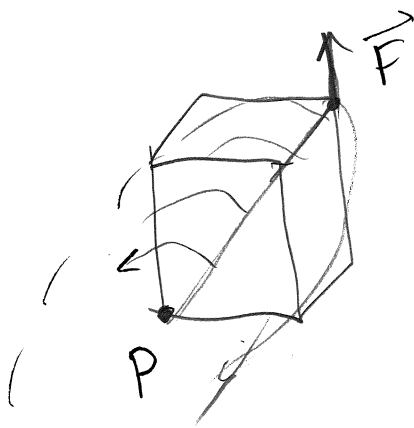
Diagrama de corpo livre : forças externas  
 (as internas não têm nenhum efeito sobre o estado de mov. ou repouso)

## princípio de transmissibilidade



# MOMENTO DE UMA FORÇA

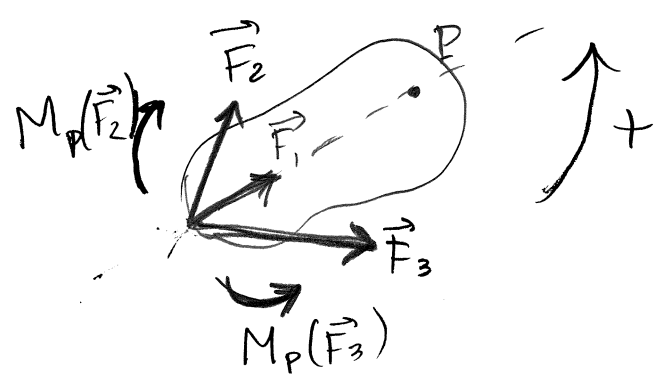
tendência a ~~...~~ produzir rotação



P = ponto de referência

em relação a P,  $\vec{F}$  faz rodar o cubo sobre o plano de P e  $\vec{F}$

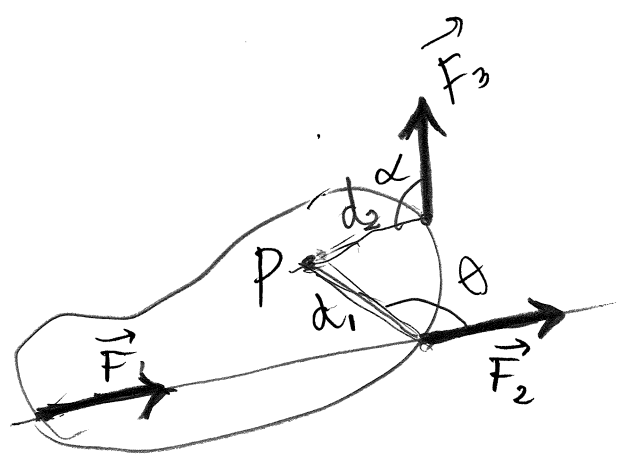
↑ plano de P e  $\vec{F}$



em relação a P,  $\vec{F}_1$  não produz momento

$$M_P(\vec{F}_1) = 0$$

os momentos de  $\vec{F}_2$  e  $\vec{F}_3$  são opostos (um deles arbitra-se positivo e o outro negativo)

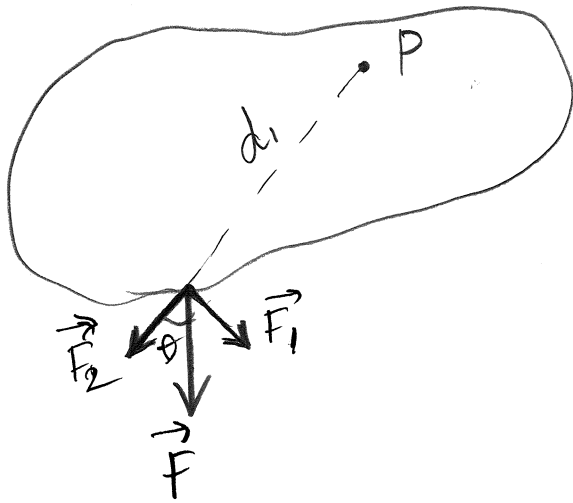


se  $F_1 = F_2$   
 $\Rightarrow M_P(F_1) = M_P(F_2)$

se  $\theta = \alpha, d_1 = d_2, F_2 = F_3$   
 $\Rightarrow M_P(F_2) = M_P(F_3)$

$\Rightarrow$  M depende de F, a distância d e o ângulo  $\theta$

# Cálculo do momento <sup>116</sup>

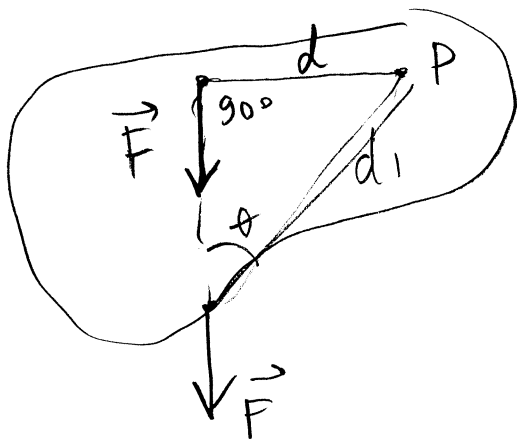


$$\vec{F} = \vec{F}_1 + \vec{F}_2$$

$$\Rightarrow M_P(\vec{F}) = M_P(\vec{F}_1) + M_P(\vec{F}_2)$$

$$M_P(\vec{F}_2) = 0$$

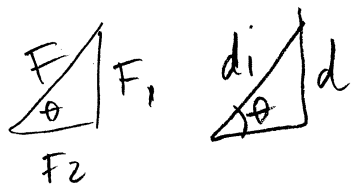
$$\Rightarrow M_P(\vec{F}) = M_P(\vec{F}_1)$$



mas também temos  
que

$$\text{momento}(F, d, 90^\circ) = \text{momento}(F_1, d_1, 90^\circ)$$

relação entre  $F_1, F, d, d_1$



$$\rightarrow \frac{F}{F_1} = \frac{d}{d_1}$$

$$\rightarrow Fd = F_1 d_1$$

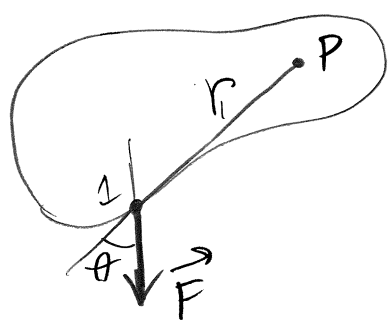
$$\rightarrow \text{de finimos } \begin{cases} M_P(\vec{F}) = Fd \\ M_P(\vec{F}_1) = F_1 d_1 \end{cases}$$

$M_P(\vec{F}) =$  módulo de  $\vec{F}$ , vezes distância entre P e a linha de ação de  $\vec{F}$

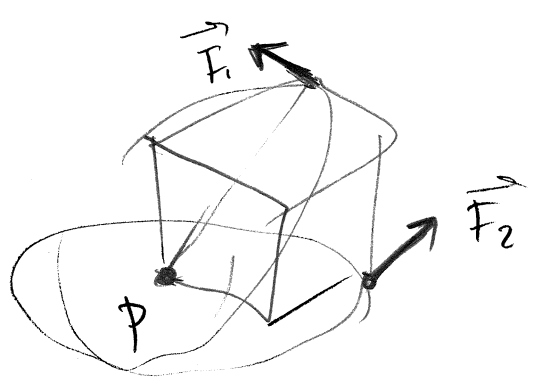
d = braço = dist. entre o ponto de referência e a linha de ação da força

unidades de  $M = (N \cdot m)$

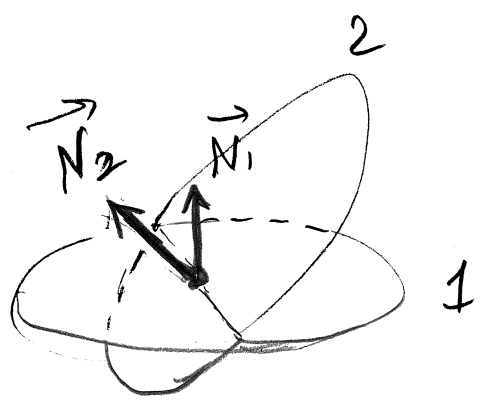
repare que  $d = d_1 \sin \theta$



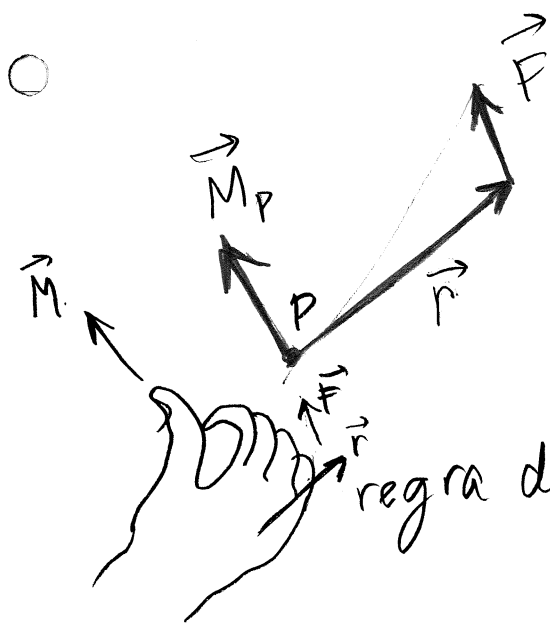
$$M_P(\vec{F}) = F r \sin \theta$$



$\vec{F}_1$  e  $\vec{F}_2$  produzem rotações em planos diferentes que passam por P. Para definir planos que passam por um ponto, basta saber um vector normal



assim, definiremos  $M_P(\vec{F})$  como um vector, normal ao plano de rotação



$$\vec{M}_p \perp \vec{r}$$

$$\vec{M}_p \perp \vec{F}$$

regra da mão direita

definição:  $\vec{M} = \vec{r} \times \vec{F}$

$$|\vec{r} \times \vec{F}| = rF \sin \theta$$

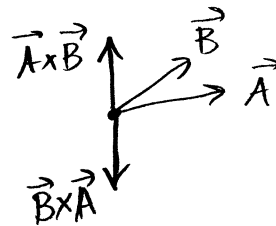
direcção e sentido de  $\vec{r} \times \vec{F} \rightarrow$  regra da mão direita

em geral, o produto vectorial de dois vetores quaisquer é  $\vec{A} \times \vec{B}$

- onde:
- $|\vec{A} \times \vec{B}| = AB \sin(\angle \text{entre } \vec{A} \text{ e } \vec{B})$
  - direcção de  $\vec{A} \times \vec{B} =$  perpendicular ao plano de  $\vec{A}$  e  $\vec{B}$
  - sentido de  $\vec{A} \times \vec{B}$  dado pela regra da mão direita, de  $\vec{A}$  para  $\vec{B}$

PROPRIEDADES DO PRODUTO VECTORIAL

①  $\vec{A} \times \vec{B} = -\vec{B} \times \vec{A}$



②  $\vec{A} \times \vec{A} = 0$

③ prop. distributiva:  $\vec{A} \times (\vec{B} + \vec{C}) = \vec{A} \times \vec{B} + \vec{A} \times \vec{C}$   
em relação a um ponto

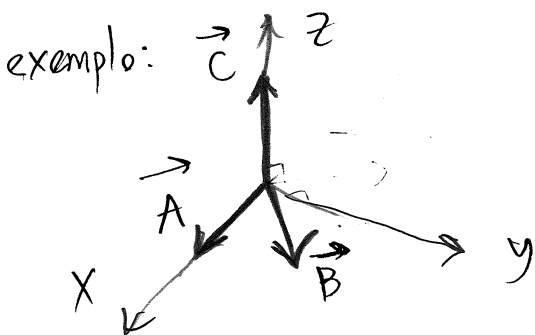
teorema: O momento de uma força é igual à soma dos momentos das suas componentes.

$$\vec{F} = \vec{F}_1 + \vec{F}_2 \rightarrow \vec{M}_p(\vec{F}) = \vec{r} \times (\vec{F}_1 + \vec{F}_2)$$

$$= \vec{r} \times \vec{F}_1 + \vec{r} \times \vec{F}_2 = \vec{M}_p(\vec{F}_1) + \vec{M}_p(\vec{F}_2)$$

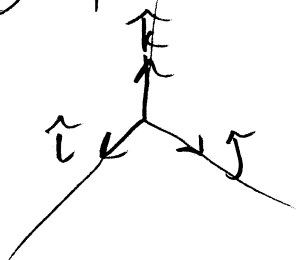
④ O produto vectorial não é associativo:

$$\vec{A} \times (\vec{B} \times \vec{C}) \neq (\vec{A} \times \vec{B}) \times \vec{C}$$



se  $\vec{C} \perp \vec{A}$  e  $\vec{C} \perp \vec{B}$   
 $\rightarrow (\vec{A} \times \vec{B})$  é paralelo a  $\vec{C}$  e  
 $(\vec{A} \times \vec{B}) \times \vec{C} = 0$   
 no entanto  $\vec{B} \times \vec{C}$  forma um ângulo  $\theta$  com  $\vec{A}$   
 e  $\vec{A} \times (\vec{B} \times \vec{C}) \neq 0$

⑤ produto vectorial em coordenadas cartesianas



$$\hat{i} \times \hat{j} = \hat{k}$$

$$\hat{j} \times \hat{i} = -\hat{k}$$

$$\hat{j} \times \hat{k} = \hat{i}$$

$$\hat{k} \times \hat{j} = -\hat{i}$$

$$\hat{k} \times \hat{i} = \hat{j}$$

$$\hat{i} \times \hat{k} = -\hat{j}$$

$$\vec{A} \times \vec{B} = (A_x \hat{i} + A_y \hat{j} + A_z \hat{k}) \times (B_x \hat{i} + B_y \hat{j} + B_z \hat{k})$$

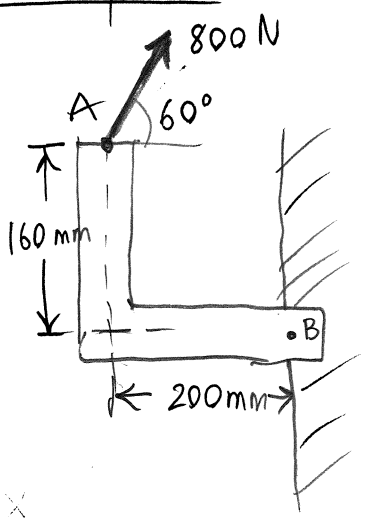
$$= A_x B_y \hat{k} - A_x B_z \hat{j} + A_y B_z \hat{i} - A_y B_x \hat{k}$$

$$+ A_z B_x \hat{j} - A_z B_y \hat{i}$$

$$= \begin{vmatrix} A_y & A_z \\ B_y & B_z \end{vmatrix} \hat{i} - \begin{vmatrix} A_x & A_z \\ B_x & B_z \end{vmatrix} \hat{j} + \begin{vmatrix} A_x & A_y \\ B_x & B_y \end{vmatrix} \hat{k}$$

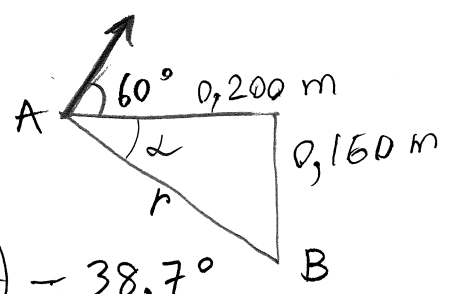
$$\vec{A} \times \vec{B} = \begin{vmatrix} \hat{i} & \hat{j} & \hat{k} \\ A_x & A_y & A_z \\ B_x & B_y & B_z \end{vmatrix}$$

Exemplo



Calcule o momento da força de 800 N, em relação a B.

1º método.



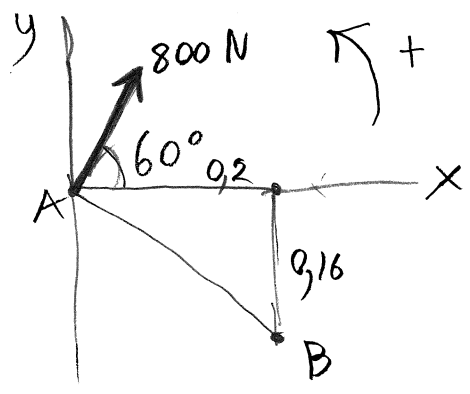
$$\alpha = \arctg\left(\frac{0,16}{0,2}\right) = 38,7^\circ$$

$$r = \sqrt{0,2^2 + 0,16^2} = 0,256 \text{ m}$$

$$M_B = (800 \text{ N})(0,256 \text{ m}) \sin(98,7) = 202 \text{ N}\cdot\text{m}$$

(no sentido horário)

2º método:



$$F_x = 400 \text{ N}$$

$$F_y = 400\sqrt{3} \text{ N}$$

braço de  $F_x$  = dist. entre o eixo x e o ponto B = 0,16

braço de  $F_y$  = dist. entre o eixo y e B = 0,2

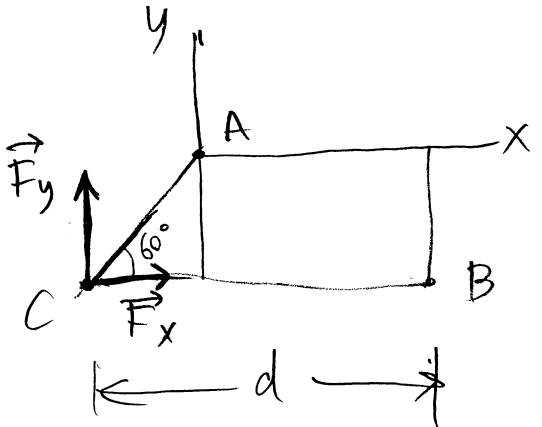
$$M_B(\vec{F}_x) = -400 \cdot 0,16 (\text{N}\cdot\text{m}) = 64 \text{ N}\cdot\text{m}$$

$$M_B(\vec{F}_y) = -400\sqrt{3} \cdot 0,2 (\text{N}\cdot\text{m}) = 139 \text{ N}\cdot\text{m}$$

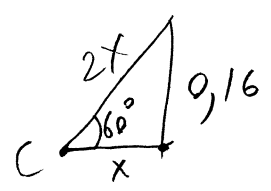
$$M_B(\vec{F}) = -203 (\text{N}\cdot\text{m})$$

ou, em forma vectorial,  $M_B(\vec{F}) = -203 \hat{k} (\text{N}\cdot\text{m})$

3º método



$$M_B(\vec{F}) = -F_y d$$



$$0,16^2 = 4x^2 - x^2$$

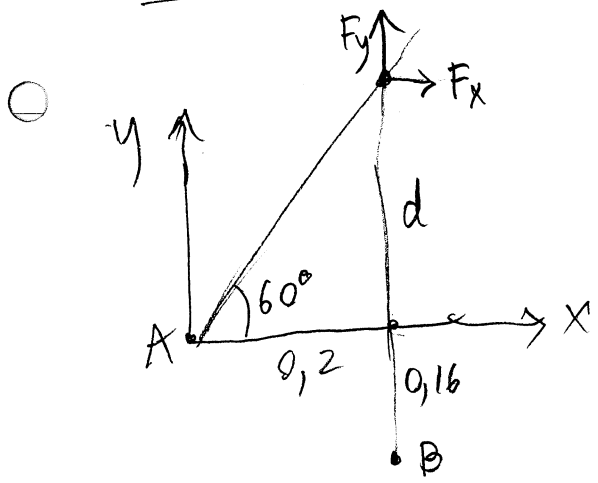
$$x = \frac{0,16}{\sqrt{3}}$$

$$d = 0,2 + x$$

$$M_B(\vec{F}) = -400\sqrt{3} \left( 0,2 + \frac{0,16}{\sqrt{3}} \right)$$

$$= -400 (0,2\sqrt{3} + 0,16) = -203 \text{ N}\cdot\text{m}$$

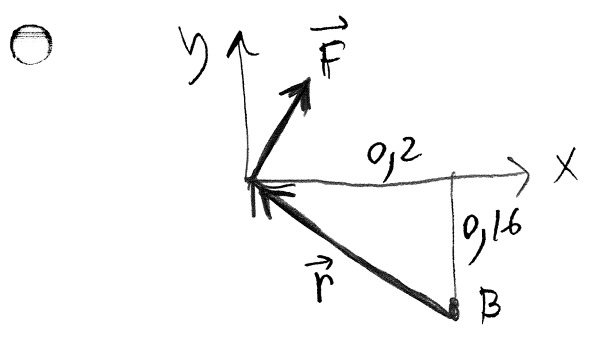
## 4º método



$$d = 0,2\sqrt{3}$$

$$M_B(\vec{F}) = M_B(\vec{F}_x) = -400(0,2\sqrt{3} + 0,16) = 203 \text{ N}\cdot\text{m}$$

## 5º método



$$\vec{F} = 400\hat{i} + 400\sqrt{3}\hat{j}$$

$$\vec{r} = -0,2\hat{i} + 0,16\hat{j}$$

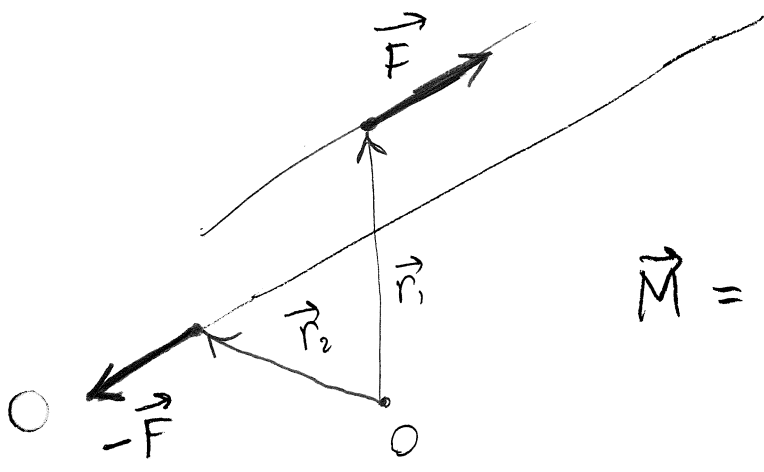
$$\begin{aligned} \vec{M}_B &= \vec{r} \times \vec{F} = 400(-0,2\hat{i} + 0,16\hat{j}) \times (\hat{i} + \sqrt{3}\hat{j}) \\ &= 400(-0,2\sqrt{3}\hat{k} - 0,16\hat{k}) \\ &= -400(0,2\sqrt{3} + 0,16)\hat{k} \text{ (N}\cdot\text{m)} \end{aligned}$$

## BINÁRIO

Duas forças com o mesmo módulo, linhas de ação paralelas, mas sentidos opostos

→ não produz deslocamento; apenas rotação

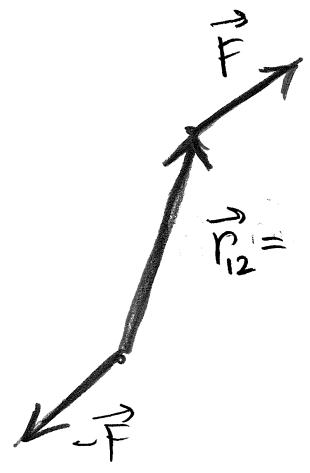
Momento total, em relação a O:



$$\vec{M} = \vec{M}_O(\vec{F}) + M_O(-\vec{F}) = \vec{r}_1 \times \vec{F} - \vec{r}_2 \times \vec{F}$$

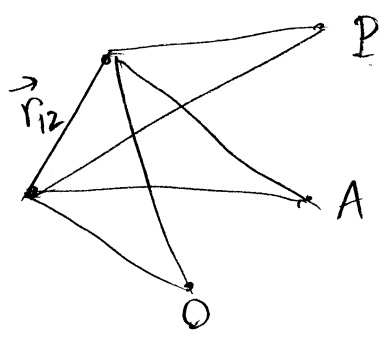
$$= (\vec{r}_1 - \vec{r}_2) \times \vec{F}$$

$$\Rightarrow \boxed{\vec{M} = \vec{r}_{12} \times \vec{F}}$$



$\vec{r}_{12} = \vec{r}_1 - \vec{r}_2 =$  vector desde  $-\vec{F}$  até  $\vec{F}$ .

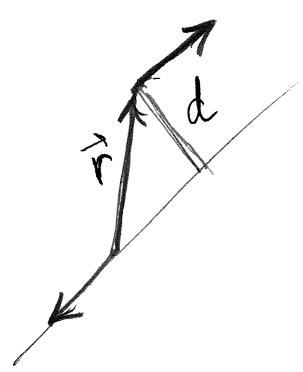
$\vec{r}_{12}$  é independente do ponto de referência:



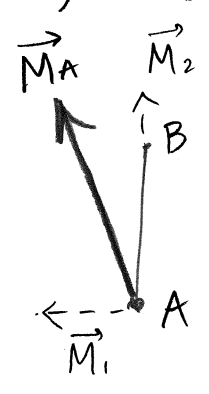
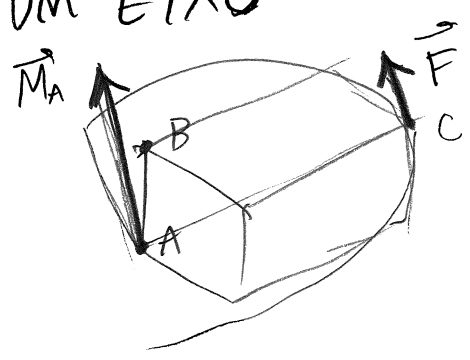
O momento de um binário é independente do ponto de referência. É um vector livre.

$M(\text{binário}) = |\vec{r} \times \vec{F}| = Fd$

$\vec{M}$  (binário) é um vector livre



MOMENTO DE UMA FORÇA EM RELAÇÃO A UM EIXO



Momento em relação a A e B

$\vec{M}_A = \vec{M}_1 + \vec{M}_2$

$\vec{M}_1$  produz uma rotação do ponto B em relação a A

mas como  $\vec{AB}$  está fixo, este momento é contrariado e o momento de  $\vec{F}$  em relação a AB será  $\vec{M}_2$

$$\Rightarrow \vec{M}_{AB}(\vec{F}) = \hat{\lambda} \cdot (\vec{r} \times \vec{F})$$

produto misto de 3 vectores

$\vec{r}$ : de A para C ou de B para C, etc.

$$\hat{\lambda} \cdot (\vec{r} \times \vec{F}) = (\lambda_x \hat{i} + \lambda_y \hat{j} + \lambda_z \hat{k}) \cdot \left( \begin{vmatrix} \hat{i} & \hat{j} & \hat{k} \\ r_x & r_y & r_z \\ F_x & F_y & F_z \end{vmatrix} \right) + \dots$$

$$= \begin{vmatrix} \lambda_x & \lambda_y & \lambda_z \\ x & y & z \\ F_x & F_y & F_z \end{vmatrix}$$

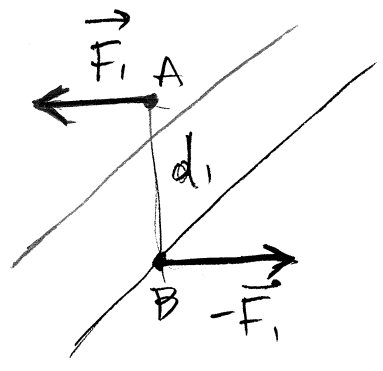
$$\hat{\lambda} \cdot (\vec{r} \times \vec{F}) = (\hat{\lambda} \times \vec{r}) \cdot \vec{F} = (\vec{F} \times \hat{\lambda}) \cdot \vec{r}$$



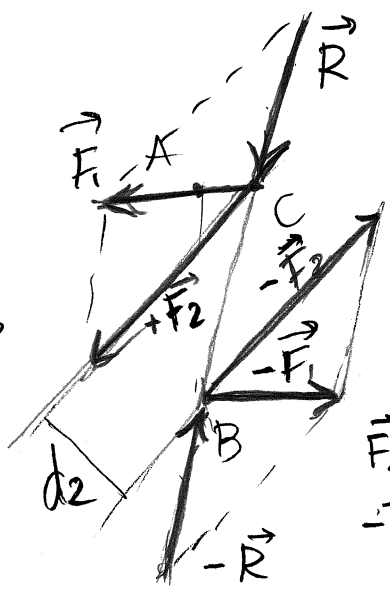
$F_{\perp}$  vezes a distância ao eixo

Aula 7, 17 de Março

binários equivalentes



somando  $\vec{R}$  e  $-\vec{R}$ :



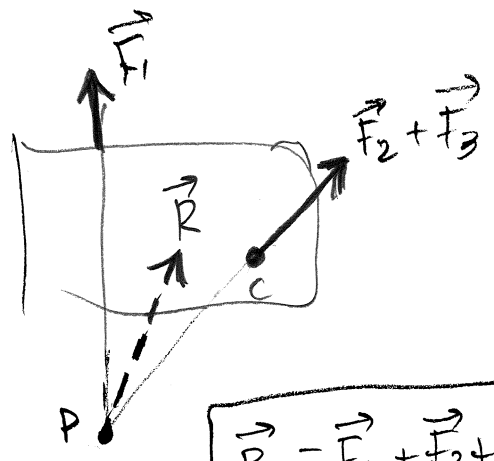
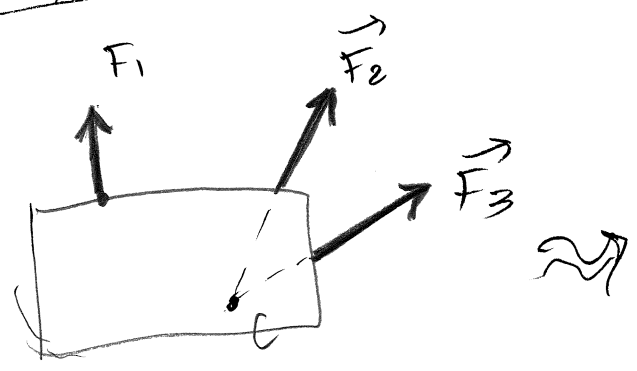
$$\vec{F}_2 = \vec{F}_1 + \vec{R}$$

$$-\vec{F}_1 = -\vec{F}_1 - \vec{R}$$

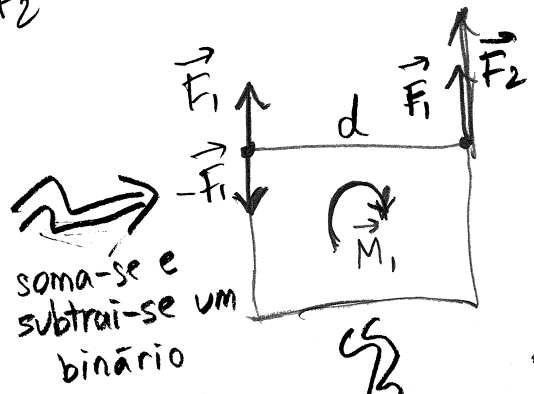
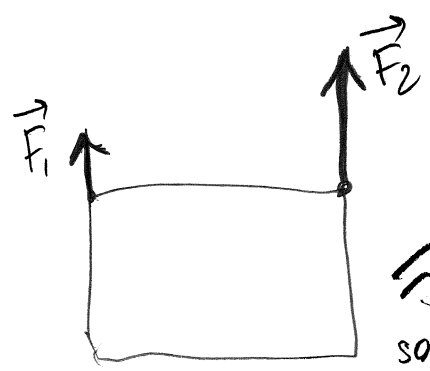
$(\vec{F}_1, -\vec{F}_1)$  equivalente a  $(\vec{F}_2, -\vec{F}_2)$

$$F_1 d_1 = F_2 d_2$$

Adição de vectores deslizantes

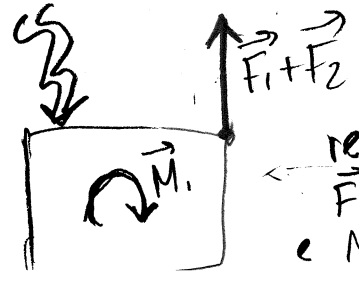


$$\vec{R} = \vec{F}_1 + \vec{F}_2 + \vec{F}_3$$



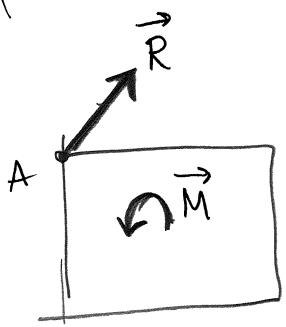
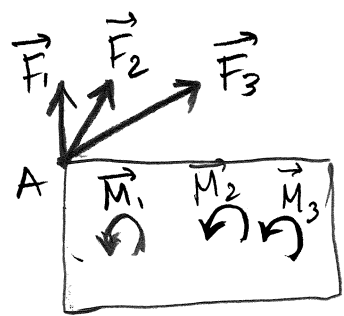
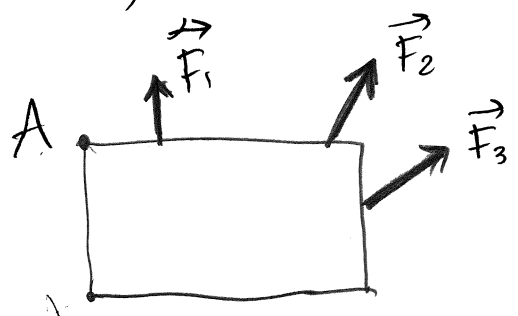
soma-se e subtrai-se um binário

$$M_1 = F_1 d$$



resultante:  $\vec{F}_1 + \vec{F}_2$  e  $M_1 = F_1 d$

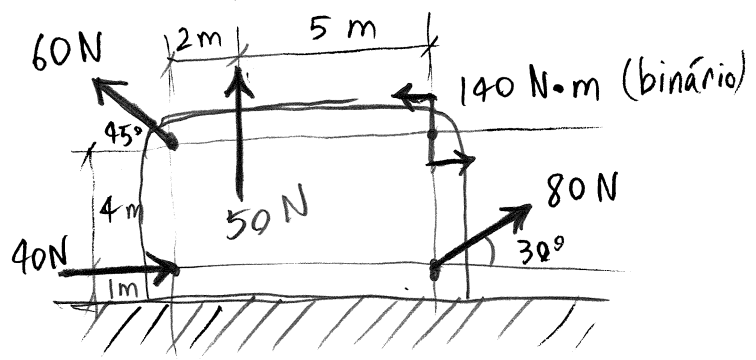
# FORÇA - BINÁRIO RESULTANTE



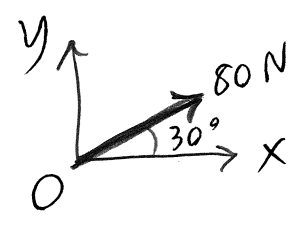
$$\vec{R} = \vec{F}_1 + \vec{F}_2 + \vec{F}_3$$

$$\vec{M} = \vec{M}_A(\vec{F}_1) + \vec{M}_A(\vec{F}_2) + \vec{M}_A(\vec{F}_3)$$

## Exemplo:

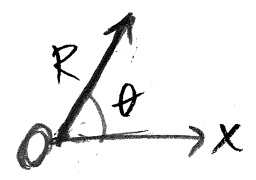


Com origem no ponto onde actua a força de 80 N,



$$R_x = 40 + 40\sqrt{3} - 30\sqrt{2} = 66,9 \text{ N}$$

$$R_y = 40 + 30\sqrt{2} + 50 = 132,4 \text{ N}$$



$$R = \sqrt{66,9^2 + 132,4^2} = 148,3 \text{ N}$$

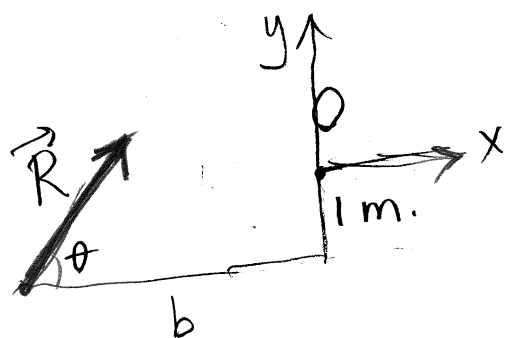
$$\theta = \text{arctg}\left(\frac{132,4}{66,9}\right) = 63,2^\circ$$

$$M_0 = 140 - 50 \cdot 5 + 30\sqrt{2} \cdot 4 - 30\sqrt{2} \cdot 7$$

$$= -110 - 90\sqrt{2} = -237 \text{ N}\cdot\text{m}$$

substituição por uma única força, na base do bloco.

$$M_0(\vec{R}) = 1 \cdot R_x - b R_y = -237$$



$$66,9 - 132,4b = -237$$

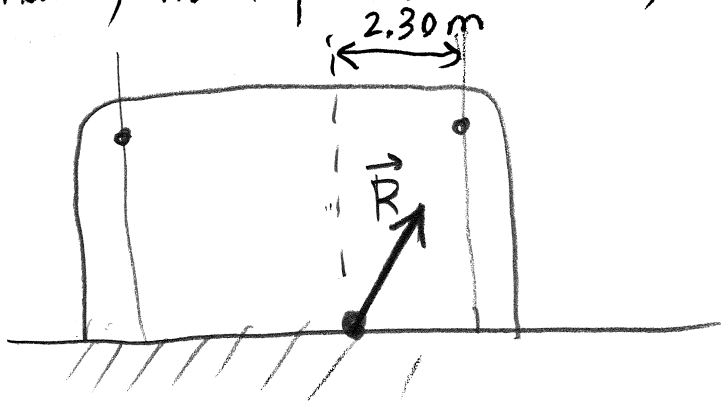
$$\rightarrow b = \frac{237 + 66,9}{132,4} = 2,30 \text{ m}$$

Concluindo: O sistema de forças/binário inicial é equivalente a uma única força

$$\vec{R} = 66,9 \hat{i} + 132,4 \hat{j} \text{ (N)}$$

atuando no ponto O, mais um binário de  $237 \text{ N}\cdot\text{m}$ , no sentido anti-horário.

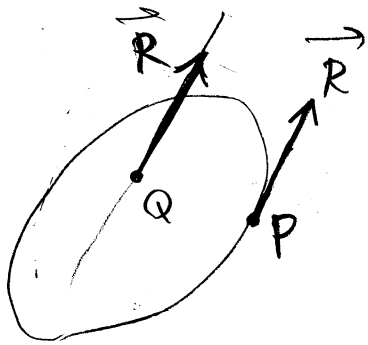
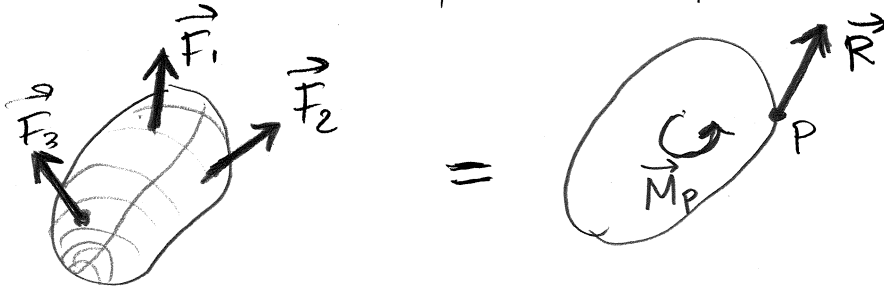
Esse sistema de força  $\vec{R}$ , em O, mais binário, é também equivalente a uma única força  $\vec{R}$  (sem binário) num ponto da base,  $2,3 \text{ m}$  à esquerda de O



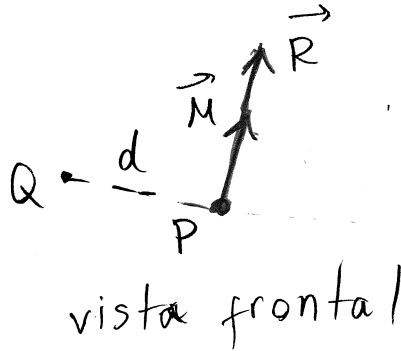
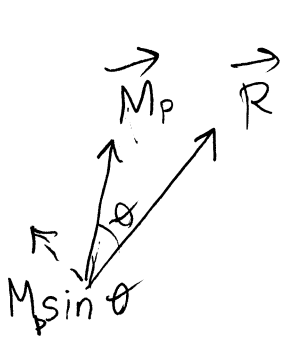
$$\vec{R} = 66,9 \hat{i} + 132,4 \hat{j} \text{ (N)}$$

Aula 8, 19 de Março de 1999

Sistemas de forças equivalentes Não

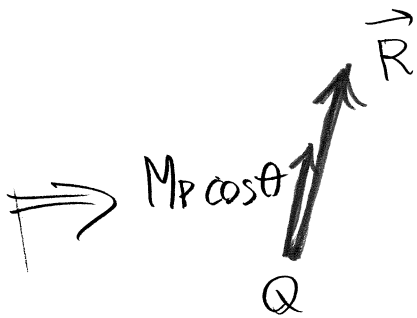


qualquer deslocamento paralelo da linha de ação de  $\vec{R}$ , introduz um momento perpendicular a  $\vec{R}$



deslocando  $\vec{R}$  uma distância  $d = \frac{M_P \sin \theta}{R}$

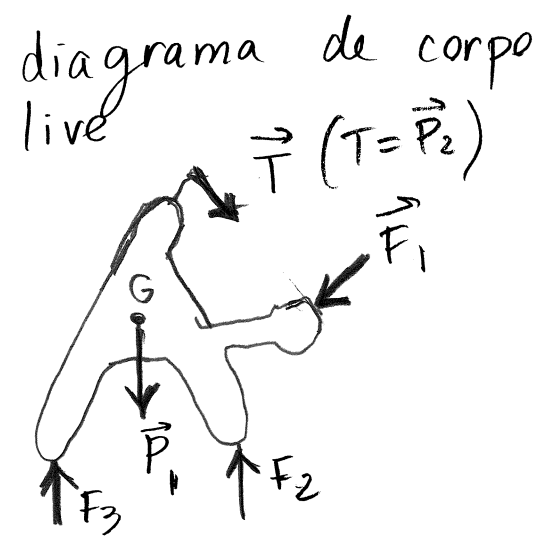
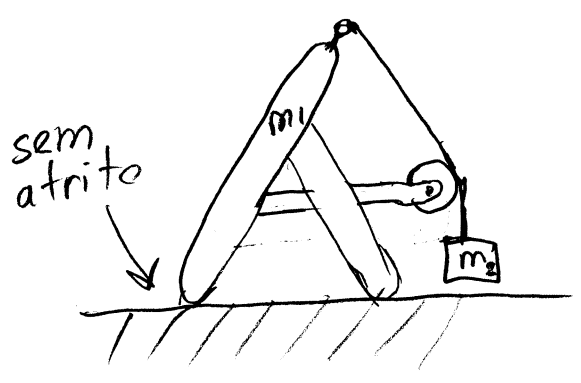
introduz-se um momento igual e oposto a  $M_P \sin \theta$



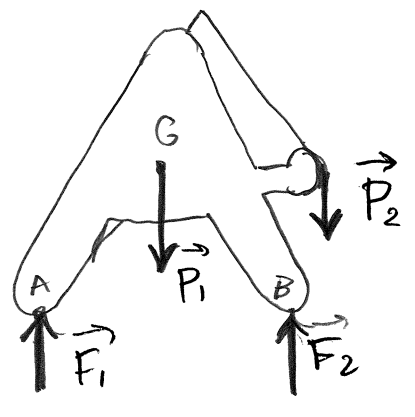
No ponto Q, o sistema equivalente é uma força  $\vec{R}$  e um momento na mesma direção. (TORSOR)

Nos sistemas de forças a 2 dimensões, o momento resultante é sempre perpendicular a  $\vec{R}$ , e pode ser eliminado totalmente.  $\Rightarrow$  O sistema pode ser sempre reduzido a uma única força ou binário.

# CORPOS RÍGIDOS EM EQUILÍBRIO



ou melhor:



Condições de equilíbrio:

$$\sum F_x = 0 \leftarrow \text{"trivial"}$$

$$\sum F_y = 0$$

$$\sum M_z = 0 \quad (\text{qualquer ponto de referência})$$

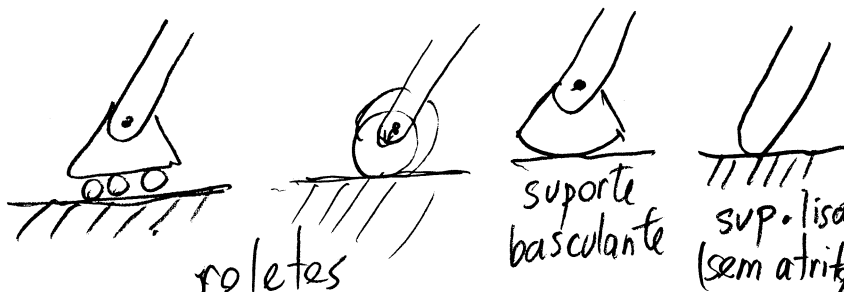
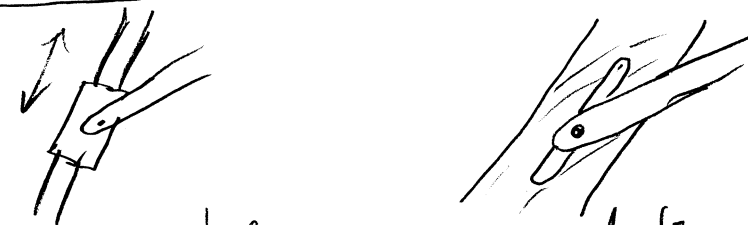
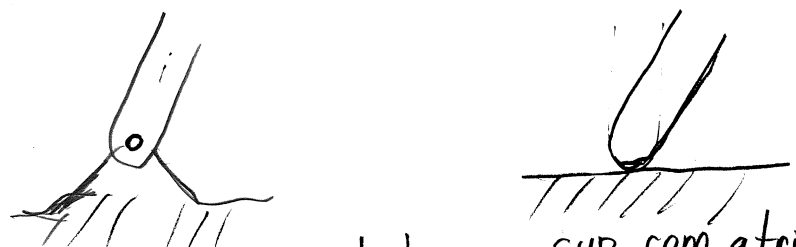
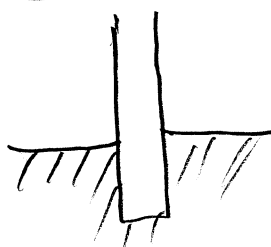
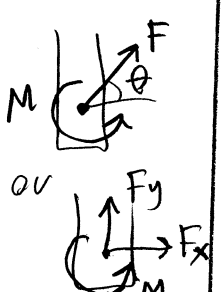
Duas equações e 2 incógnitas (F1 e F2)

Outras duas equações equivalentes às anteriores:

$$\begin{cases} \sum M_z(\text{em A}) = 0 & (\text{permite obter } F_2) \\ \sum M_z(\text{em B}) = 0 & (\text{permite calcular } F_1) \end{cases}$$

# Reacções nos apoios e nas ligações de uma estrutura

(Secção 4.3 Beer & Johnston)

apoio ou ligação	Reacção	Número incógnita
 <p>roletes</p> <p>suporte basculante</p> <p>sup. lisa (sem atrito)</p>	 <p>(linha de acção e direcção conhecidas)</p>	1
 <p>cabos</p> <p>bielas</p>	 <p>linha de acção conhecida (e sentido) no 2º caso</p>	1
 <p>cursor sobre haste sem atrito</p> <p>pino deslizante sem atrito</p>	 <p>linha de acção conhecida (sentido desconhecido)</p>	1
 <p>articulação sem atrito</p> <p>sup. com atrito</p>	 <p>ou</p> <p>linha de acção desconhecida</p>	2
 <p>encastramento</p>	 <p>ou</p>	3

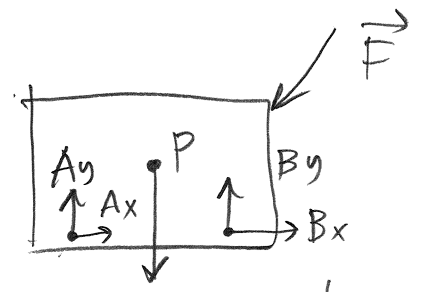
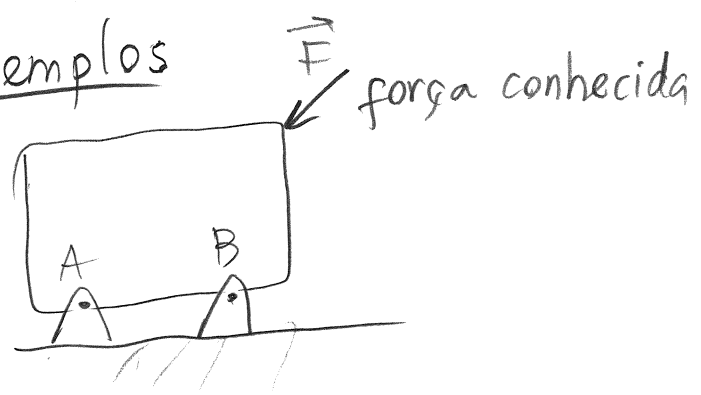
sistemas em 2 dimensões  $\rightarrow$  3 eq. de equilíbrio:

$$\begin{cases} \sum F_x = 0 \\ \sum F_y = 0 \\ \sum M_z = 0 \end{cases}$$

$\Rightarrow$  máximo 3 incógnitas

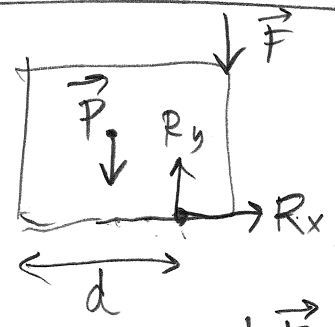
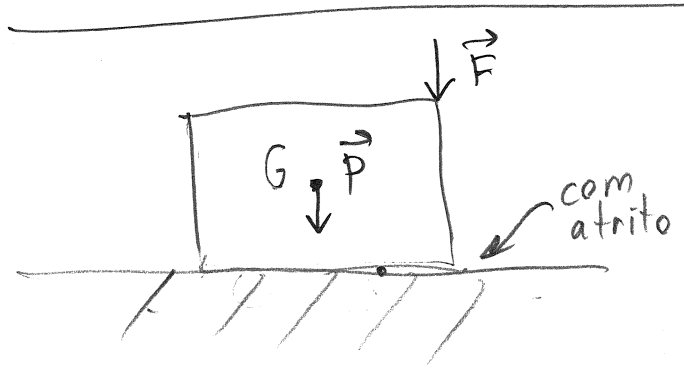
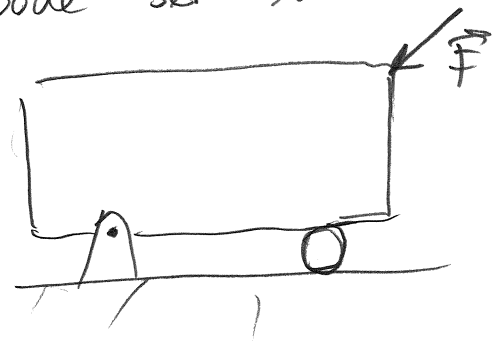
número de incógnitas  $> 3 \rightarrow$  reacções estáticamente indeterminadas.

Exemplos



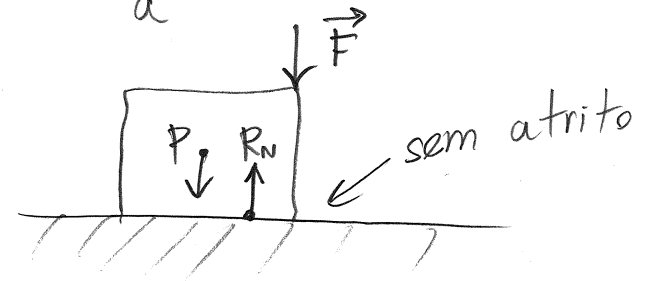
4 incógnitas  $\rightarrow$  reacções indeterminadas

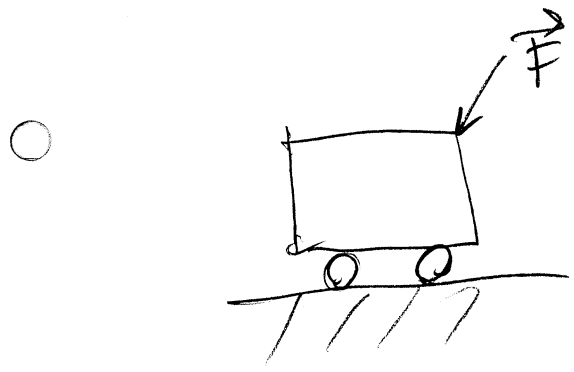
$\rightarrow$  pode ser substituído por:



3 incógnitas!

sistema equivalente





reações mal distribuídas.  
 (2 incógnitas, 3 equações)  
 o sistema não está em equilíbrio

Equilíbrio em três dimensões

6 equações

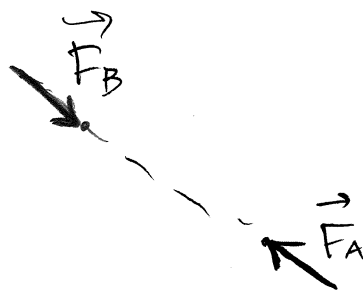
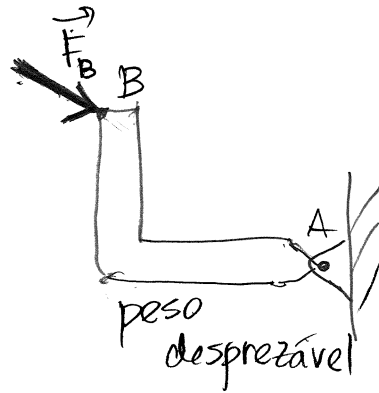
$$\begin{cases} \sum F_x = 0 \\ \sum F_y = 0 \\ \sum F_z = 0 \end{cases} \quad \begin{cases} \sum M_x = 0 \\ \sum M_y = 0 \\ \sum M_z = 0 \end{cases}$$

Reações nos apoios e nas ligações

	Reações	# de incógn
<p>esfera                      sup. sem atrito                      cabos</p>	<p><math>\vec{F}</math> linha de ação e sentido conhecidos</p>	1
<p>rolete (com atrito, ou sobre carril)</p>	<p><math>F_z</math>  <math>F_x</math></p>	2
<p>Barra encastrada (completamente) estática</p>	<p><math>F_x, F_y, F_z</math>  <math>M_x, M_y, M_z</math></p>	6
<p>Dobradiças</p>	<p><math>F_x, F_y, F_z</math>  <math>M_x, M_z</math></p>	5
<p>tubo e cilindro</p>	<p><math>F_x, F_y, F_z</math>  <math>M_x, M_z</math></p>	4
<p>barra com eixo</p>	<p><math>F_x, F_y, F_z</math>  <math>M_x, M_z</math></p>	5

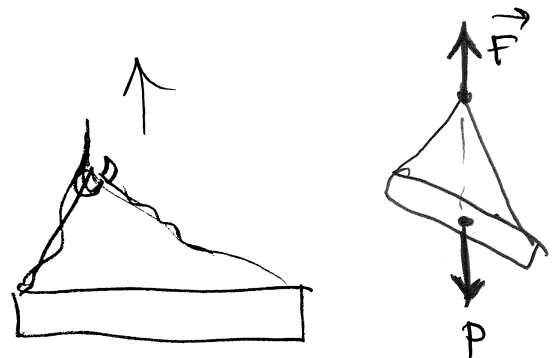
Caso especial de equilíbrio estático:

Duas forças:  
(em A e B)

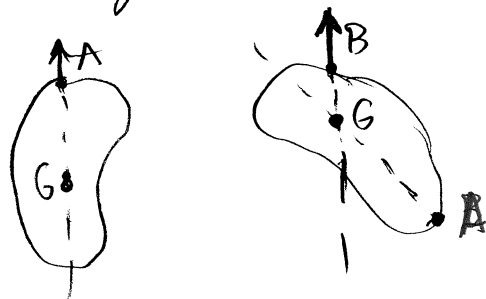


$$\vec{F}_A = -\vec{F}_B$$

Exemplo (problema 4-4)

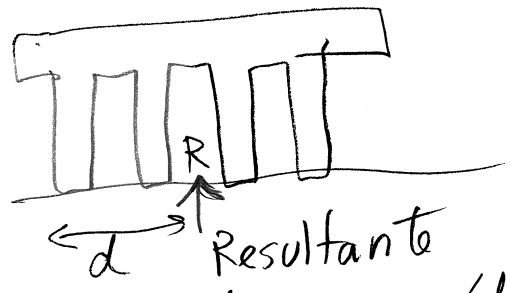
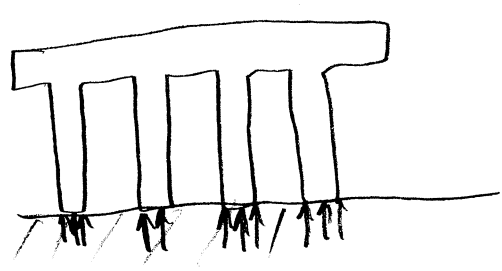


Centro de gravidade:

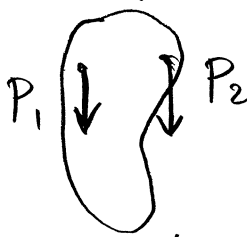
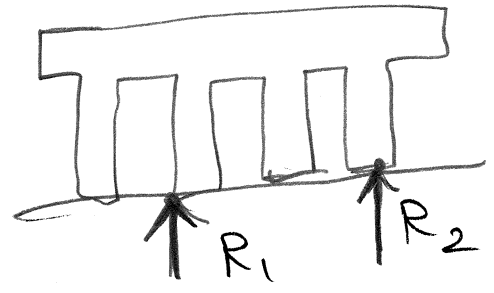


# Forças distribuídas

qualquer força é sempre uma força distribuída



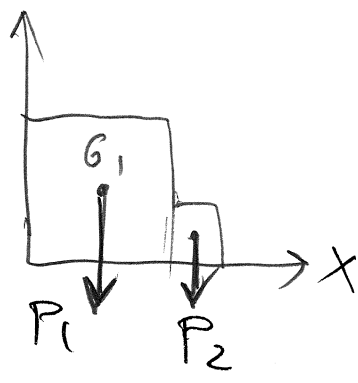
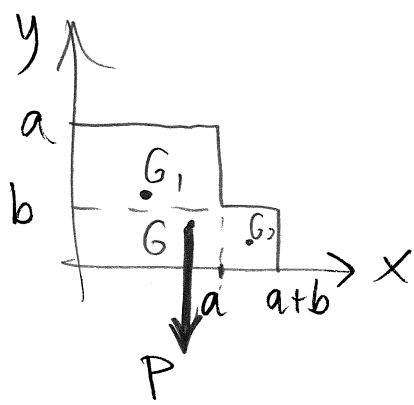
em vez de usar  $(d, R)$  podemos usar duas variáveis  $R_1, R_2$  em dois pontos arbitrários:

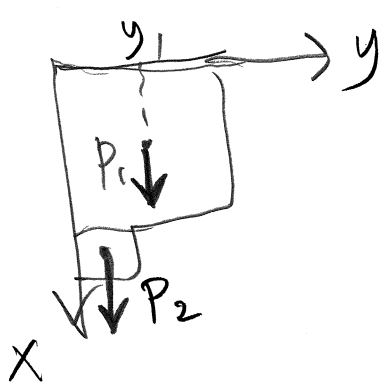


Centro de gravidade:

$$\rightarrow \bar{x}P = x_1P_1 + x_2P_2$$

$$\bar{x} = \frac{\sum_{i=1}^n x_i P_i}{\sum_{i=1}^n P_i}$$





$$\bar{y} = \frac{\sum_{i=1}^n y_i P_i}{\sum_{i=1}^n P_i}$$

Centróide

$$P_i = \rho_i A_i$$

$\rho_i$  = peso superficial  
 $A_i$  = área

se  $\rho_i = \text{constante}$

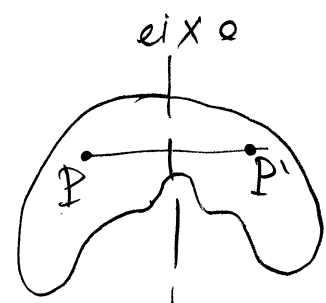
$$\bar{X} = \frac{\sum_{i=1}^n x_i A_i}{\sum_{i=1}^n A_i}$$

$$\bar{y} = \frac{\sum_{i=1}^n y_i A_i}{\sum_{i=1}^n A_i}$$

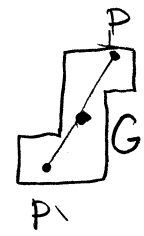
SIMETRIA

① Eixo de simetria

$\implies$  G sobre eixo



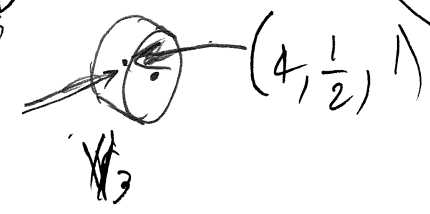
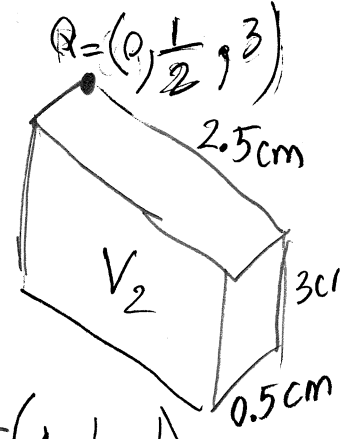
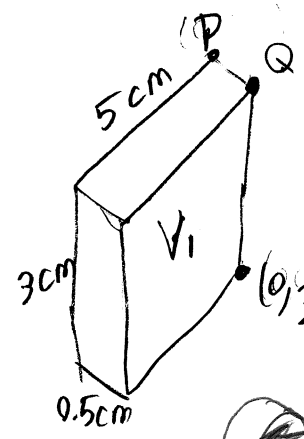
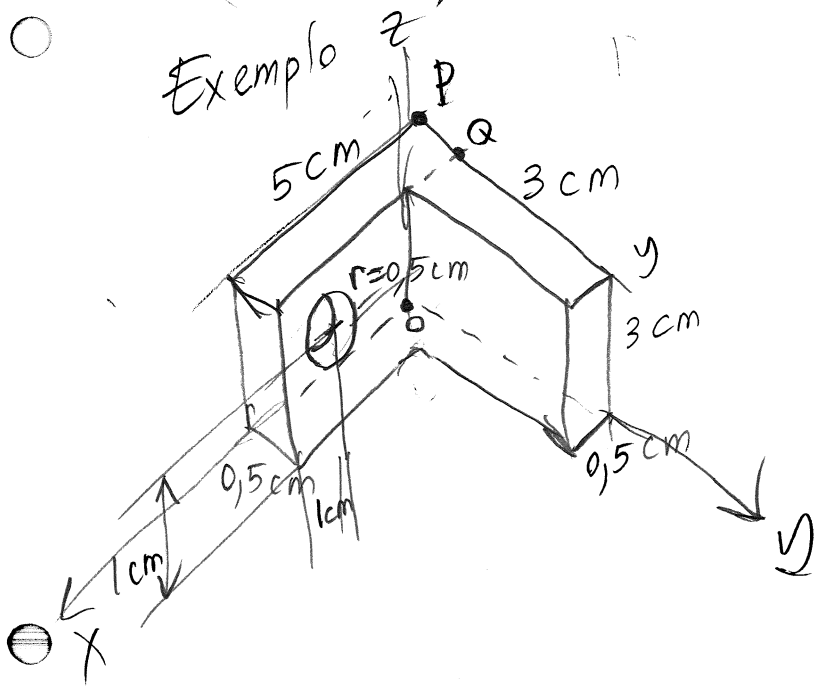
② Ponto de simetria



$$= A_1 + A_2 - A_3$$

Aula 10, 26 de Março de 1999

Exemplo



$i$	$x_i$	$y_i$	$z_i$	$V_i$	$x_i V_i$	$y_i V_i$	$z_i V_i$
1	$5/2$	$1/4$	$3/2$	$15/2$	$75/4$	$15/8$	$45/4$
2	$1/4$	$7/4$	$3/2$	$15/4$	$15/16$	$105/16$	$45/8$
3	4	$1/4$	1	$-\pi/8$	$-\pi/2$	$-\pi/32$	$-\pi/8$
$\sum_{i=1}^3$				$\frac{90+\pi}{8}$	$\frac{315-8\pi}{16}$	$\frac{270-\pi}{32}$	$\frac{135+\pi}{8}$

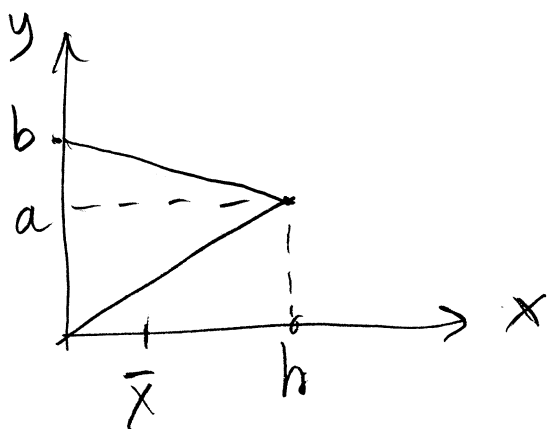
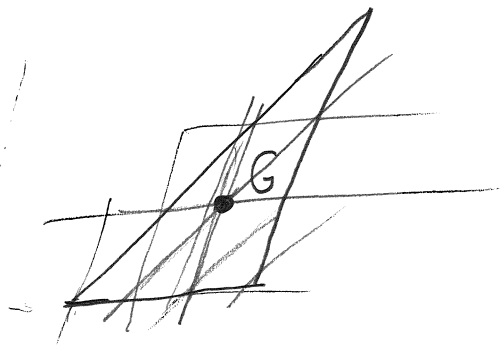
$$\bar{x} = \left( \frac{315-8\pi}{16} \right) \left( \frac{8}{90-\pi} \right) = \frac{315-8\pi}{180-2\pi} = 1,67 \text{ cm}$$

$$\bar{y} = \left( \frac{270+\pi}{32} \right) \left( \frac{8}{90+\pi} \right) = \frac{270+\pi}{2(90+\pi)} = 0,768 \text{ cm}$$

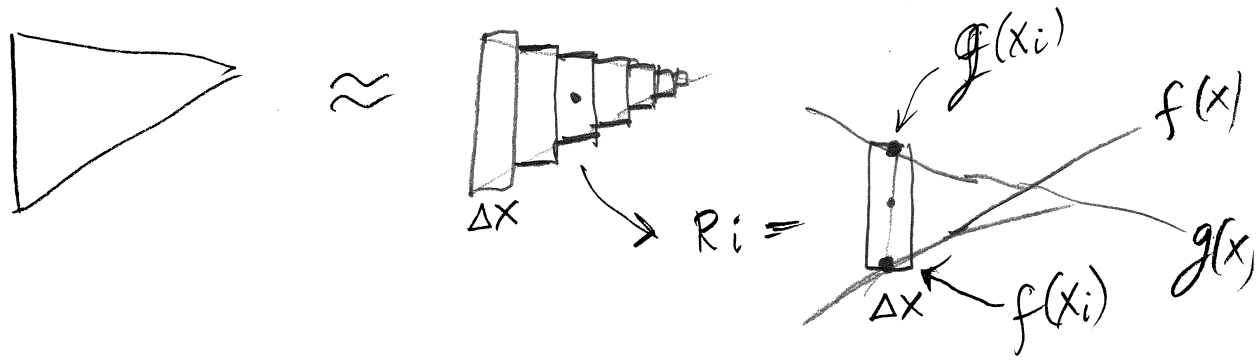
$$\bar{z} = \left( \frac{135-\pi}{8} \right) \left( \frac{8}{90-\pi} \right) = \frac{135-\pi}{90-\pi} = 1,52 \text{ cm}$$

Cálculo da posição do centróide por integração:

Exemplo: Demonstre que em qualquer triângulo, o centróide encontra-se a  $\frac{1}{3}$  da sua altura.



(a pode ser maior que b ou negativa)



$$\Rightarrow A_i = \Delta x [g(x_i) - f(x_i)]$$

$$G_i = \left( x_i, \frac{f(x_i) + g(x_i)}{2} \right)$$

$$f(x) = \frac{a}{h}x \quad g(x) = b - \left( \frac{b-a}{h} \right)x$$

$$\rightarrow g(x) - f(x) = b - \left(\frac{b}{h} - \frac{a}{h} + \frac{a}{h}\right)x = b\left(1 - \frac{x}{h}\right)$$

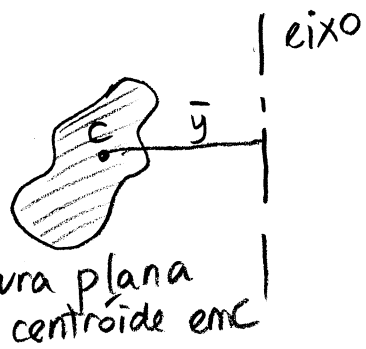
$A_i = b\left(1 - \frac{x_i}{h}\right)\Delta x$

$$\rightarrow \bar{x} = \lim_{\Delta x \rightarrow 0} \frac{\sum_{i=1}^n x_i b\left(1 - \frac{x_i}{h}\right)\Delta x}{\sum_{i=1}^n b\left(1 - \frac{x_i}{h}\right)\Delta x}$$

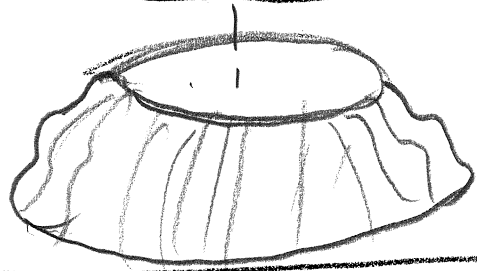
$$= \frac{\int_0^h b\left(x - \frac{x^2}{h}\right) dx}{\int_0^h b\left(1 - \frac{x}{h}\right) dx} = \frac{b\left[\frac{x^2}{2} - \frac{x^3}{3h}\right]_0^h}{b\left[x - \frac{x^2}{2h}\right]_0^h}$$

$$= \left(\frac{h^2}{2} - \frac{h^2}{3}\right)\left(h - \frac{h}{2}\right)^{-1} = \frac{h^2/6}{h/2} = \frac{h}{3}$$

### TEOREMA DE PAPPUS

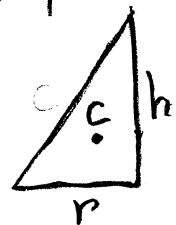


rodando a figura plana em relação ao eixo, obtém-se um sólido de revolução



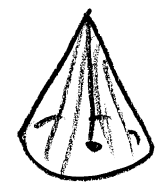
O volume do sólido de revolução é  $2\pi \bar{y} A$ , onde  $A$  é a área da figura plana e  $\bar{y}$  a distância do centróide ao eixo.

exemplo:



triângulo de base  $r$  e altura  $h$   
 $\Rightarrow A = \frac{rh}{2}$

rodando com eixo em  $h$ , obtém-se um cone de raio  $r$  e altura  $h$ .



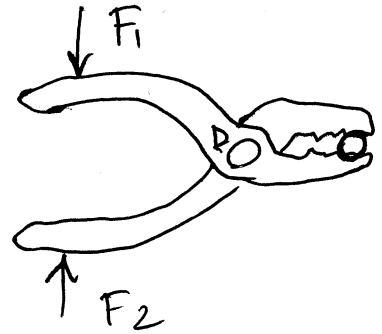
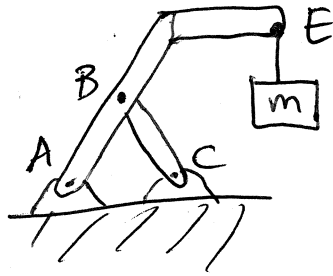
$\bar{y} = r/3$   
 $\Rightarrow V_{\text{cone}} = \frac{\pi r^2 h}{3}$

Aula 11, 9 de Abril/99

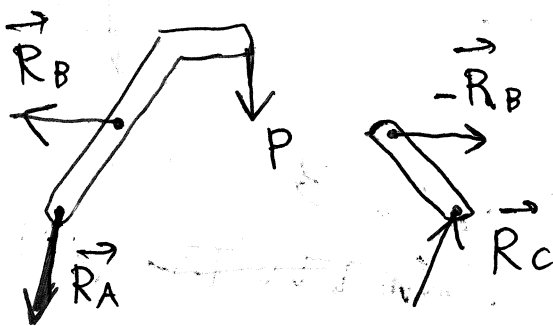
39

# ESTRUTURAS E MÁQUINAS

Exemplos:



Para calcular as forças internas nos pontos A, B, C ou D, é necessário considerar por separado o diagrama de corpo livre de cada peça:



Duas coisas importantes a ter em conta:

- Os diagramas devem ser consistentes em relação as forças de acção e reacção.

Neste caso, no ponto B, as forças sobre cada uma das 2 peças em contacto são forças de acção e reacção. Assim, não devem ser representadas como 2 forças independentes mas sim como uma força  $R_B$  e a mesma força com sinal contrário na outra peça.

$\Rightarrow$  Incógnitas = 6 ( $R_{Ax}, R_{Ay}, R_{Bx}, R_{By}, R_{Cx}, R_{Cy}$ )

② Os elementos mais simples numa estrutura são aqueles onde existem unicamente dois pontos de apoio. Como vimos numa secção anterior, as forças nesses pontos deverão ser iguais e opostas e com a mesma linha de acção.

No caso do exemplo, na barra BC:

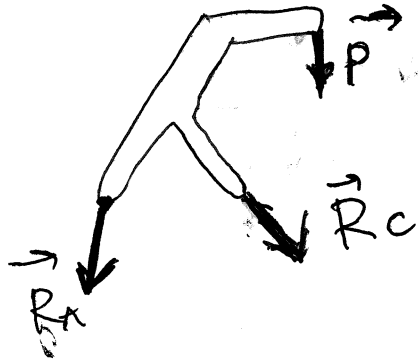


⇒ unicamente 3 variáveis:  $R_{Ax}$ ,  $R_{Ay}$ ,  ~~$R_{Ax}$ ,  $R_{Ay}$~~  e  $R_c$  (direcção de  $\vec{R}_c$  conhecida)

Mas como as equações de equilíbrio para a barra BC já foram resolvidas (dando que  $\vec{R}_B$  era igual e oposta e na mesma linha de  $\vec{R}_c$ ), teremos apenas 3 equações para a peça ACE, ~~o que nos dá um sistema estáticamente indeterminado~~

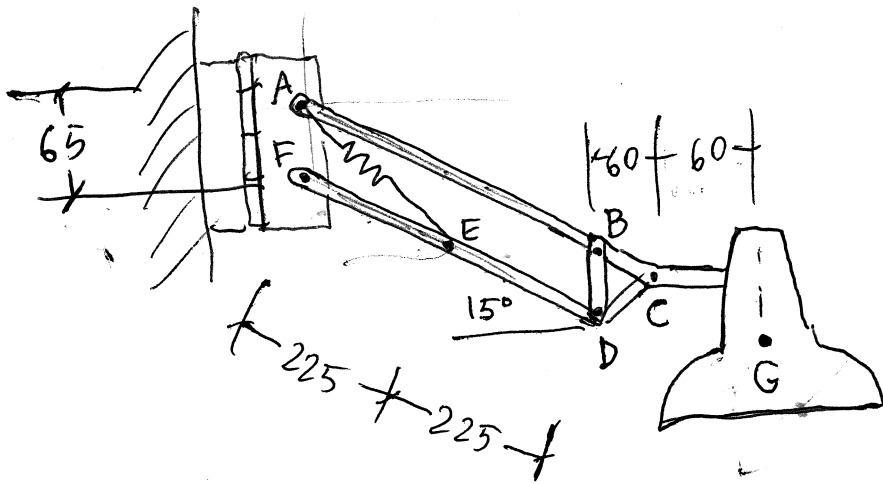
por vezes,

- É conveniente também considerar o diagrama de corpo livre da estrutura completa:



que neste caso é equivalente ao diagrama de ABE, uma vez identificamos a direcção de  $R_C$ .

Exemplo:



(distâncias em mm)

A massa total do candeeiro é

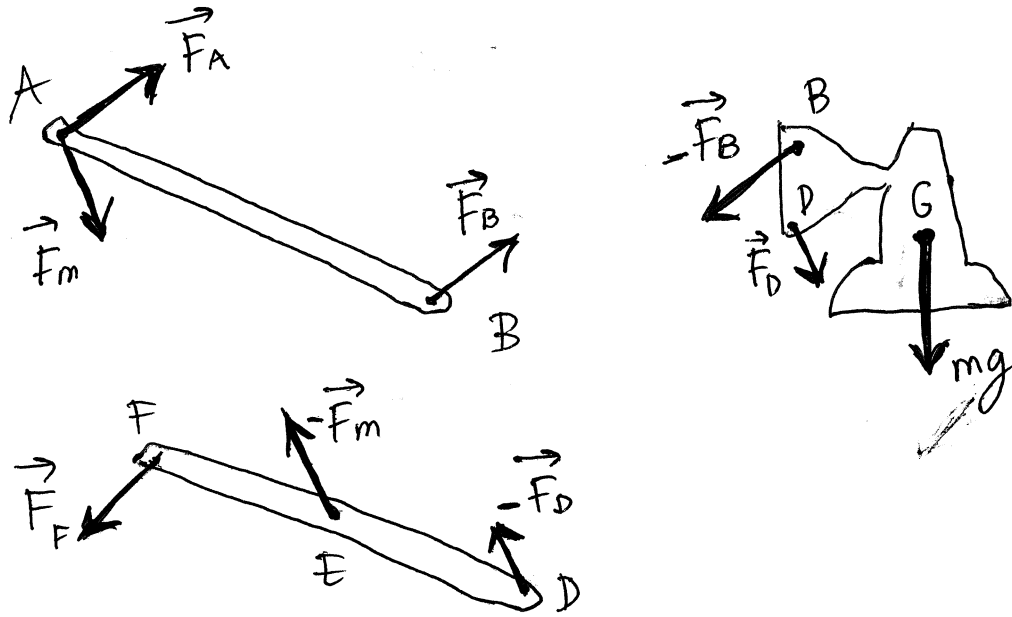
0,6 kg, com centro de gravidade em  $G$ . A massa das barras e desprezável.

A mola  $AE$  mantém o sistema em equilíbrio depois de o ponto  $D$  descer até  $FD$  formar um ângulo de  $15^\circ$  com a horizontal.

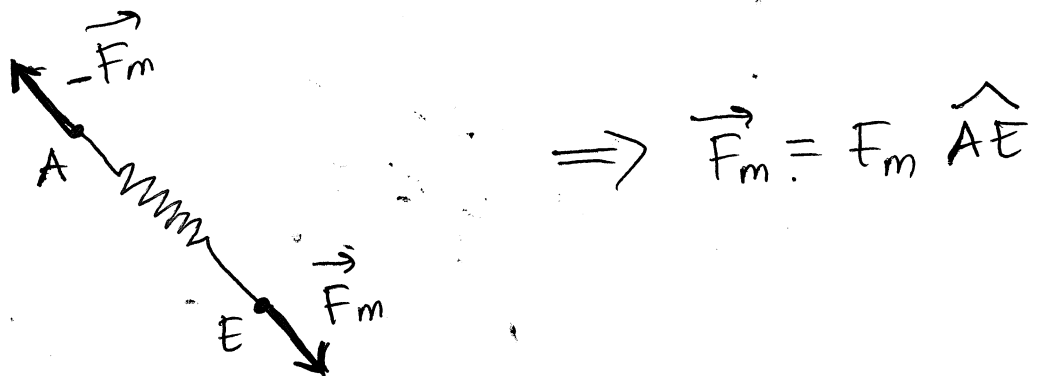
Calcule a força produzida pela mola.

(42)

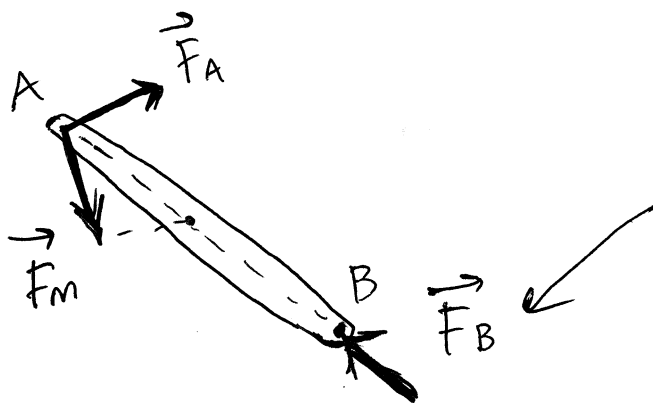
Resolução: Diagramas de corpo livre:



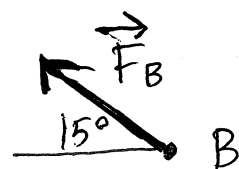
Onde  $\vec{F}_m$  é a força sobre a mola, que deverá ter a direcção dela:



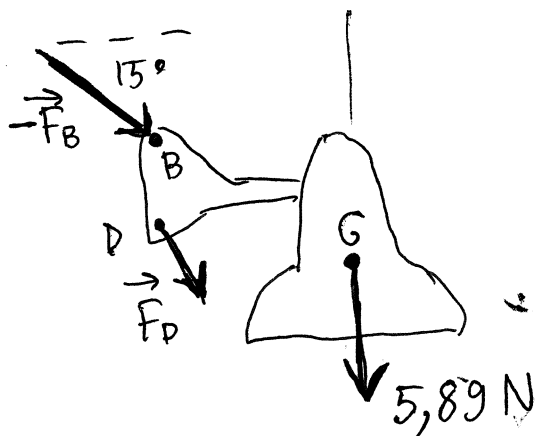
O elemento mais simples (com 2 pontos) é a barra AB:



$\vec{F}_B$  deverá realmente ter a direcção de  $\hat{BA}$



A continuação (conhecida a direção de  $\vec{F}_B$ ) passamos à outra peça onde aparece  $\vec{F}_B$ :



momentos em relação a D: (em N·cm)

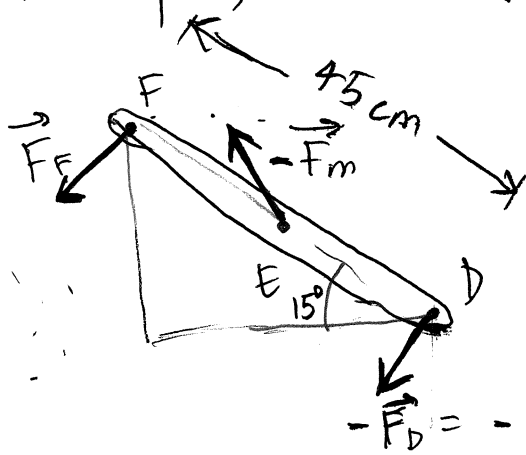
$$0 = -12 \cdot 5,89 - 6,5(F_B \cos 15^\circ)$$

$$\rightarrow F_B = -11,26 \text{ N}$$

$$\sum F_x = 0 \rightarrow F_{Dx} = 11,26 \cos 15 = 10,87 \text{ N}$$

$$\sum F_y = 0 \rightarrow F_{Dy} = 5,89 - 11,26 \sin 15^\circ = 2,98 \text{ N}$$

Na peça FED: (colocando  $\vec{F}_D$  na direção já calculada)



$$\vec{-F}_m = F_m \hat{EA}$$

$$\hat{EA} = -22,5 \cos 15^\circ \hat{i} + (6,5 + 22,5 \sin 15^\circ) \hat{j} \text{ (cm)}$$

$$\vec{-F}_D = -10,87 \hat{i} - 2,98 \hat{j}$$

$$\rightarrow \hat{EA} = -0,870 \hat{i} + 0,493 \hat{j}$$

$$\vec{-F}_m = -0,87 F_m \hat{i} + 0,493 F_m \hat{j}$$

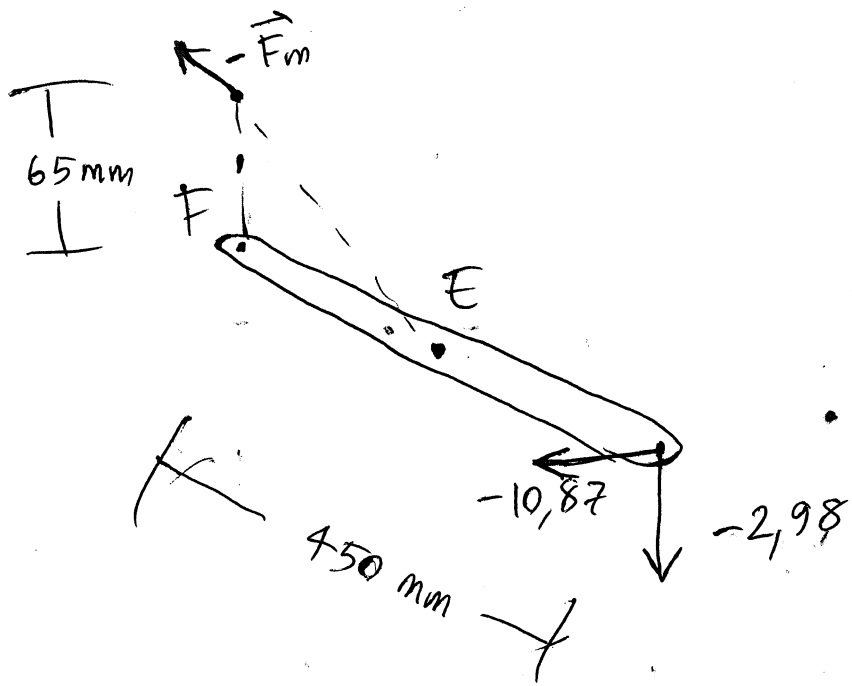
Momentos em relação a F:

$$- (45 \sin 15^\circ) 10,87 - (45 \cos 15^\circ) 2,98 + (22,5 \sin 15^\circ) (0,870 F_m$$

$$+ (22,5 \cos 15^\circ) (0,493 F_m) = 0$$

$$F_m = 2 \frac{10,87 \sin 15^\circ + 2,98 \cos 15^\circ}{0,493 \cos 15^\circ - 0,870 \sin 15^\circ} = 45,3 \text{ N}$$

AA) MAIS FÁCIL:  
momentos em relação a F, com  $\vec{F}_m$  a actuar  
em A:

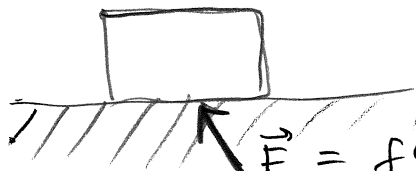


$$0,870 \cdot 6,5 F_m - 10,87 \cdot 45 \sin 15^\circ - 2,98 \cdot 45 \cos 15^\circ = 0$$

$$F_m = 45,3 \text{ N}$$

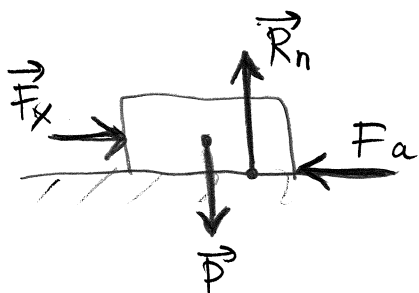
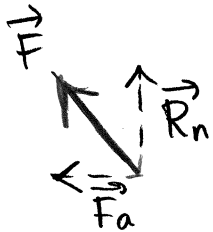
Aula 12, 14 de Abril de 1999

## FORÇA DE ATRITO

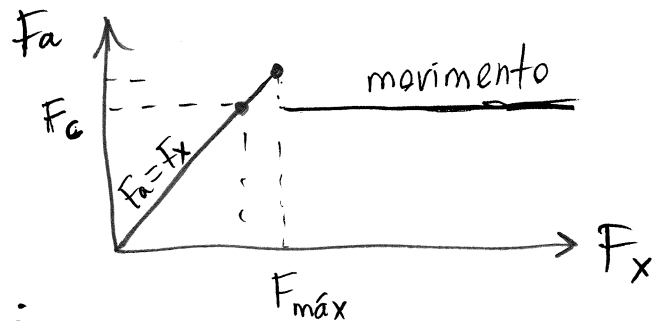


$\vec{F}$  = força de contacto

costuma ser dividida em duas componentes: { Reacção normal  
força de atrito



$$R_n = P = mg$$



experimentalmente observa-se:

①  $\frac{F_{máx}}{R_n} = \text{constante} = \mu_e = \text{coeficiente de atrito estático}$

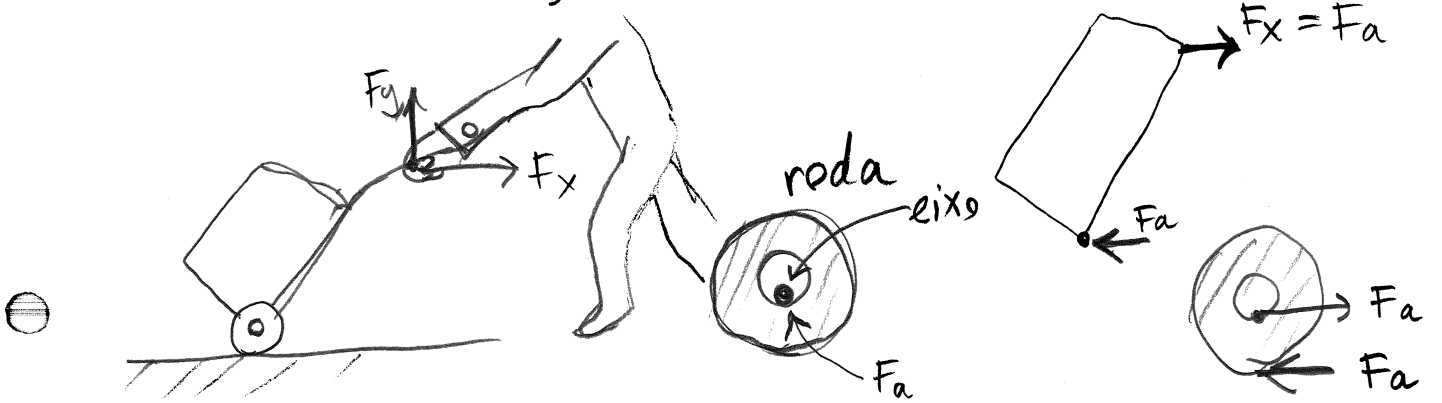
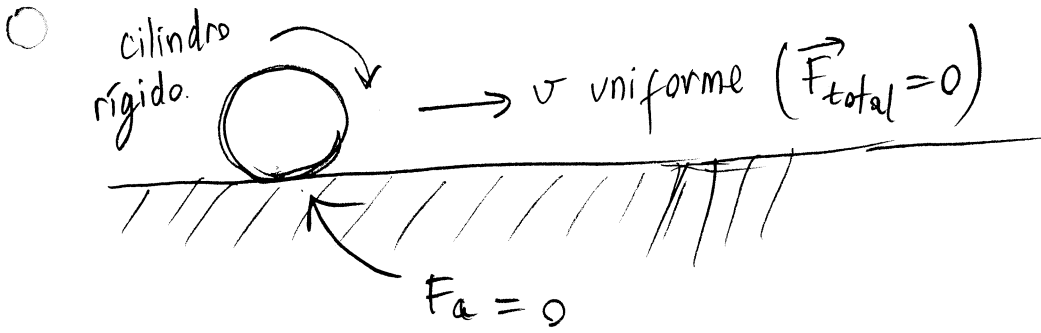
②  $\frac{F_c}{R_n} = \mu_c = \text{coeficiente de atrito cinético}$

③  $\mu_e, \mu_c$  dependem apenas das superfícies em contacto, e não do peso do objecto

○  $\mu_c < \mu_e$  Normalmente  $\mu_e < 1$ .

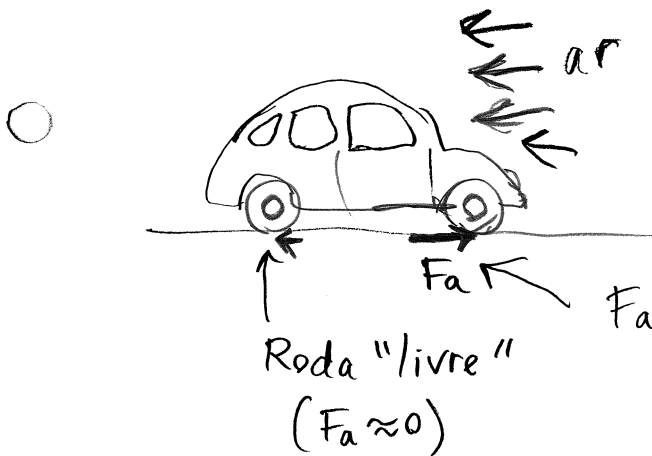
$$F_c \leq \mu_c R_n$$

$$F_c = \mu_c R_n$$



deformação  $\rightarrow$  atrito de rolamento

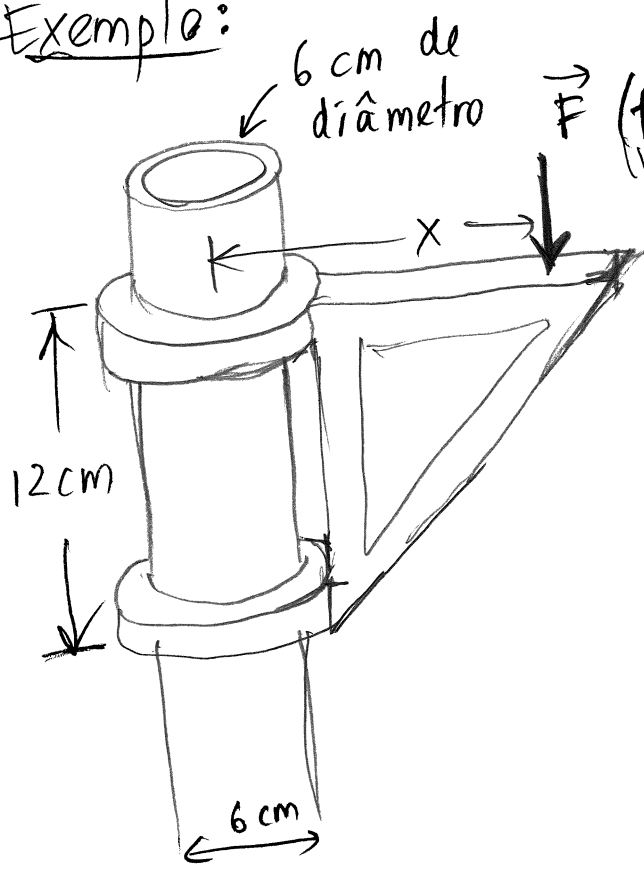
Força de tração



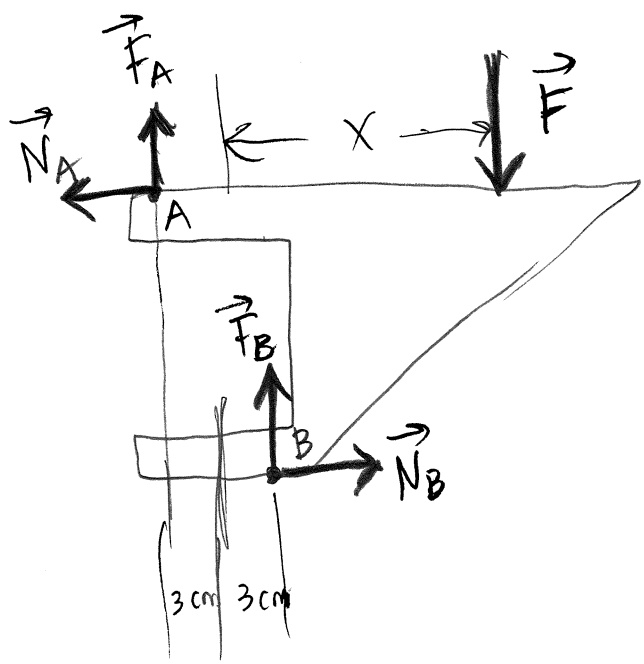
$F_a$  = força de tração

(única força responsável pelo movimento do carro. Necessária devido à elasticidade dos pneus e ao atrito com o ar)

Exemplo:



A peça móvel pode ser deslocada a qualquer altura no poste vertical. O coeficiente de atrito estático entre a peça e o poste é  $\frac{1}{2}$ . Calcule a distância mínima  $x$  à qual deverá actuar a força  $\vec{F}$  para a peça permanecer estática (o peso da peça é  $\ll F$ )



$$\begin{cases} \sum F_x = 0 \Rightarrow N_A = N_B \\ \sum M_B = 0 \Rightarrow 12N_B + 6F_B = (x+3)F \\ \sum M_A = 0 \Rightarrow 12N_B = 6F_A = (x-3)F \end{cases}$$

$$F_B \leq \frac{N_B}{4} \quad F_A \leq \frac{N_B}{4}$$

(atrito nos pontos A e B onde há contacto entre a peça e o poste)

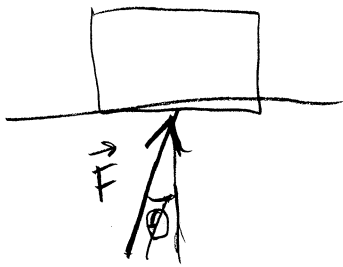
$$\rightarrow \begin{cases} (x+3)F \leq (12 + \frac{6}{4})N_B \\ (x-3)F \geq (12 - \frac{6}{4})N_B \end{cases}$$

$$\rightarrow \frac{x+3}{x-3} \leq \frac{27}{21}$$

$$\Rightarrow \frac{(x+3)}{21} \leq \frac{27}{21}(x-3) \quad (\text{se } x \geq 3)$$

$$\Rightarrow \boxed{x > 24 \text{ cm}}$$

Aula 13, 16 de Abril de 1999



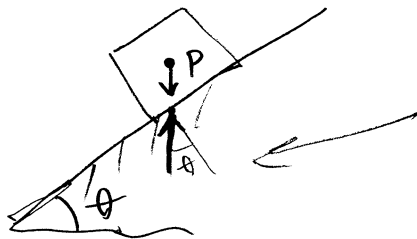
ângulos de atrito

$$\text{tg } \phi = \frac{F_a}{N}$$

$$\text{tg } (\phi_e) = \frac{M_e N}{N} = M_e \rightarrow \boxed{\phi_e = \text{arctg}(M_e)}$$

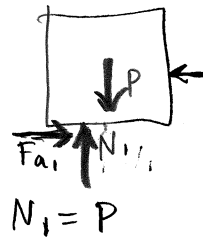
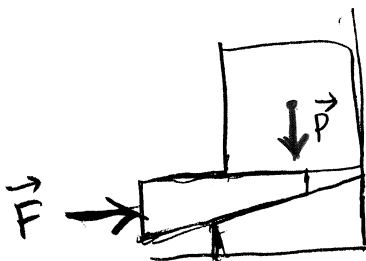
$$\phi_c = \text{arctg } \mu_c$$

v constante

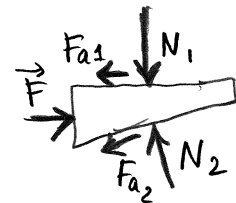


$$\theta_{\text{máx}} = \text{arctg}(M_e)$$

Cunhas:



$$N_1 = P$$

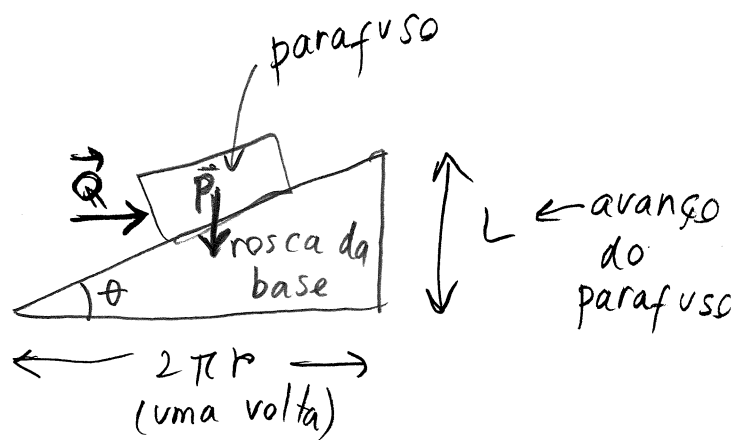
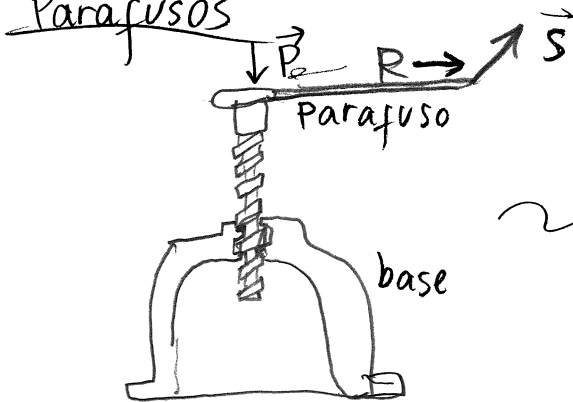


como  $F_{a1} \ll N_1$

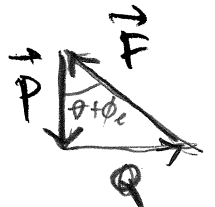
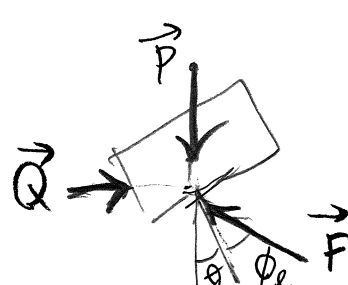
$$\rightarrow \boxed{F < P}$$

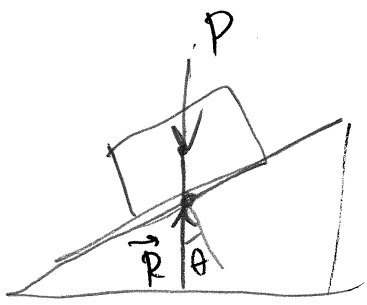
pode levantar-se o peso P aplicando a força  $F < P$

Parafusos

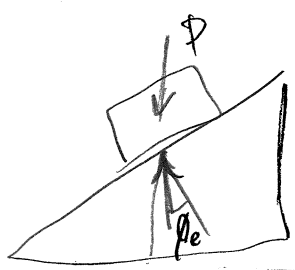


$$Qr = SR$$





se  $\theta < \phi_e$ , o parafuso é auto-bloqueante



se  $\theta > \phi_e$ , o parafuso desliza para baixo